

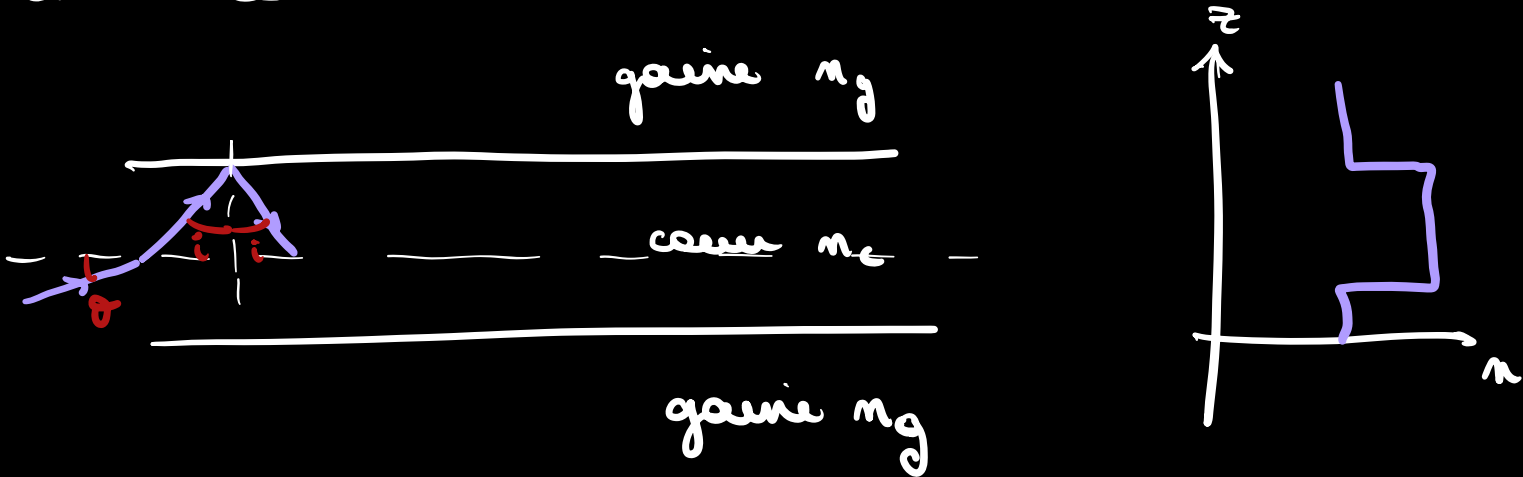
Chapitre III : PROPAGATION GUIDÉE DES ONDES

I. APPROCHE QUALITATIVE DU GUIDAGE

On va ici décrire le guidage à partir du confinement d'une onde (optique, acoustique) entre 2 plans. Le but de cette partie est de mettre en évidence les caractéristiques propres du guidage d'onde.

1) Canalisation de l'énergie

- On va prendre l'ex. de la fibre optique sur d'indice.



- On envoie l'onde optique / rayon lumineux dans l'ichtyotique (cœur) entouré d'un autre diélectrique (gaine).
- Pour obtenir le confinement de l'énergie, il faut que il y ait réflexion totale.

$$\hookrightarrow R=1 \text{ et } T=0$$

- 2 sol° : → confinée à l'aide d'impédances os (meilleur en eau, solides inéférables en acoustiq)
- faire varier l'angle d'incidence (diélectriq de la fibre optiq).

Lois de Snell - Descartes :

$$n_c \sin i > n_g \Rightarrow \sin i > \frac{n_g}{n_c}$$

⇒ cela impose que $n_g < n_c$.

DONC $\cos i = \sqrt{1 - \sin^2 i} < \sqrt{1 - \left(\frac{n_g}{n_c}\right)^2}$

Or $n_c \cos i = \sin \theta$

$$\Rightarrow \sin \theta < \sqrt{n_c^2 - n_g^2} = \text{ON}$$

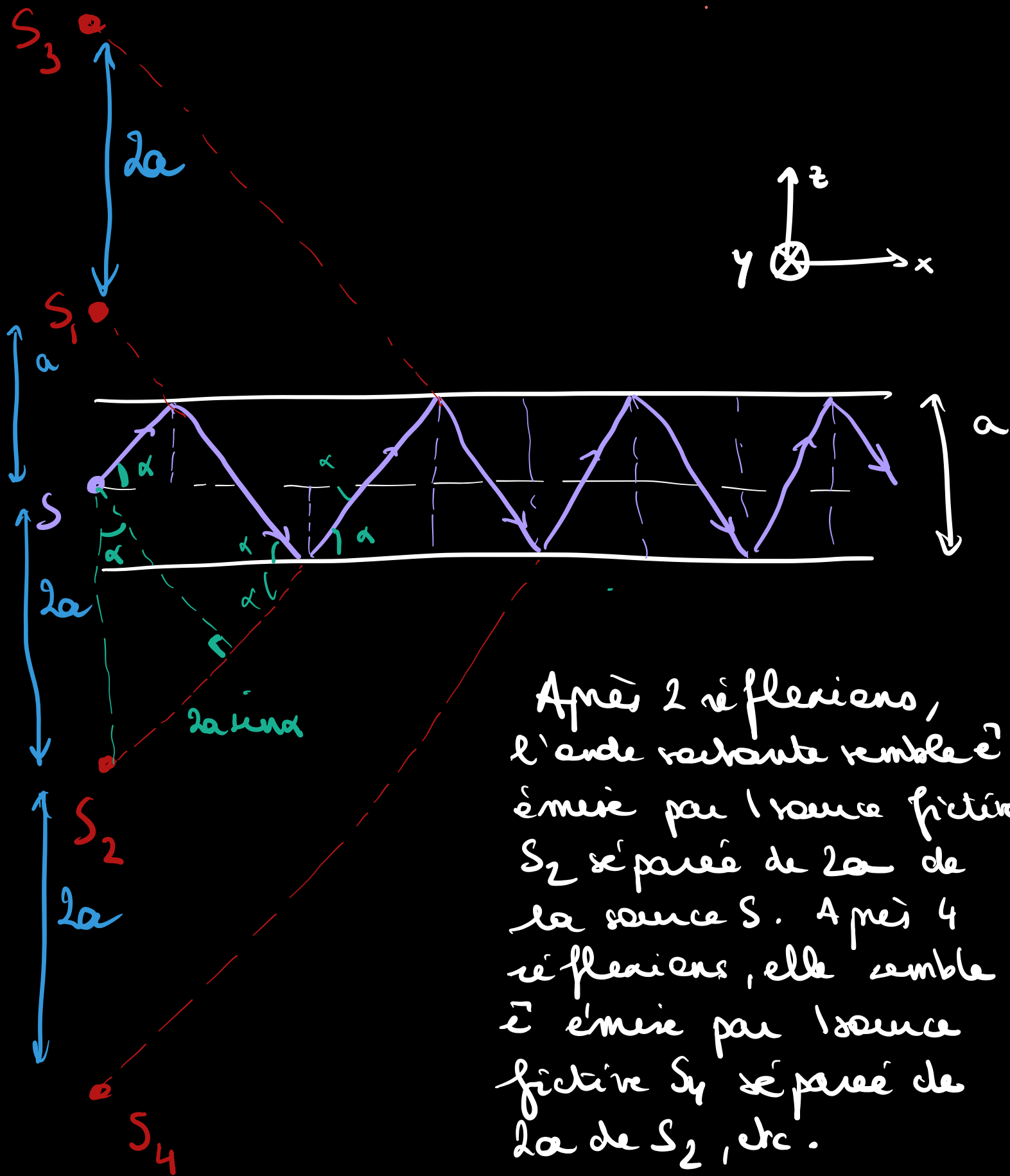
- Déf: le guidage consiste en le confinement d'un onde en vue de canaliser son énergie dans le domaine borné de l'espace.

2) Dispersion par les fibres

a) Fibre optique à saut d'indice

- On étudie à quelle condition l'onde peut se propa-

ge de la fibre optiq



- Tenir compte des U's est éq. à étudier les interférences entre l'até de sources fictives : on aura l'signal en sortie de la fibre si toutes les sources fictives S, S_2, S_4, \dots sont en phase.

- Si le déphasageur S et S_2 est

$$\Delta\phi = \frac{2\pi n_c}{d} (\underbrace{2a \sin\alpha}_{\text{différence}}) = \frac{4\pi n_c a}{d} \sin\alpha .$$

- Cela amène donc à l'quantification des angles d'arrivée de la fibre optiq:

$$\boxed{\sin\alpha = \frac{Pd}{2n_c a}}$$

d: longueur
d'onde de la ride

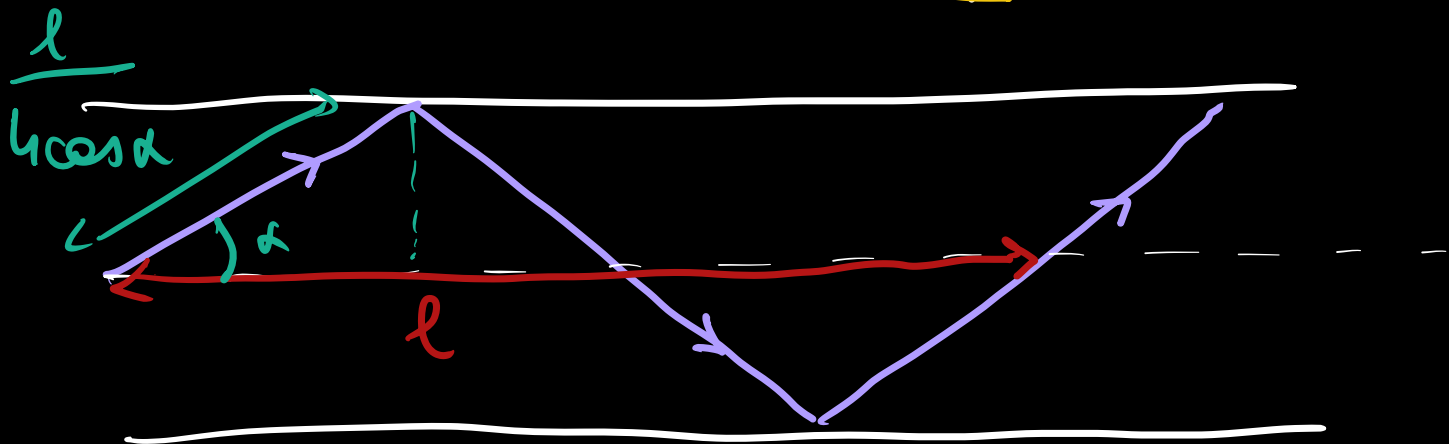
- Quel est le lien avec la dispersion?

Sur le guide, il y a superposition de 2 ODDS

$$\left\{ \begin{array}{l} \vec{k}_1 = \frac{2\pi n_c}{\lambda} [\cos\alpha \vec{e}_x + \sin\alpha \vec{e}_y] \\ \vec{k}_2 = \frac{2\pi n_c}{\lambda} [\cos\alpha \vec{e}_x - \sin\alpha \vec{e}_y] \end{array} \right.$$

Les onde qui se propage selon \vec{e}_x avec le vecteur \vec{k}

les appariés d'OS selon \vec{e}_y .



$h \cos \alpha \cdot q \frac{d\omega}{dkg} = v_g = \frac{l}{\Delta t}$ où Δt durée du trajet de l'onde

$$\text{Or } \Delta t = h \cdot \left(\frac{l}{h \cos \alpha} \right) / \left(\frac{c}{n_c} \right) = \frac{n_c l}{c \cos \alpha}$$

$$\Rightarrow v_g = \frac{c}{n_c} \cos \alpha = \frac{d\omega}{dkg} \Rightarrow \frac{dkg}{d\omega} = \frac{n_c}{c \cos \alpha}$$

On peut alors en déduire le vecteur d'onde traduisant la propagation selon \vec{e}_x :

$$\frac{dkg_p}{d\omega} = \frac{n_c}{c \cos \alpha_p} = \frac{n_c}{c \sqrt{1 - \sin^2 \alpha_p}}$$

$$\hookrightarrow \frac{dkg,p}{dw} = \frac{m_c}{c \sqrt{1 - \left(\frac{p\pi c}{2m_c a}\right)^2}} = \frac{m_c}{c \sqrt{1 - \left(\frac{p\pi c}{w m_c a}\right)^2}}$$

$$\Rightarrow \frac{dkg,p}{dw} = \frac{m_c w}{c \sqrt{w^2 - \left(\frac{p\pi c}{m_c a}\right)^2}}$$

$$\Rightarrow k_{g,p} = \frac{m_c}{c} \sqrt{w^2 - \left(\frac{p\pi c}{m_c a}\right)^2}$$

$$\Leftrightarrow k_{g,p}^2 = \frac{w^2 - w_{c,p}^2}{(c f_m)^2}$$

où $w_{c,p} = \frac{2\pi c}{\alpha_{c,p}} = \frac{p\pi c}{m_c a}$ avec $p \in \mathbb{N}$

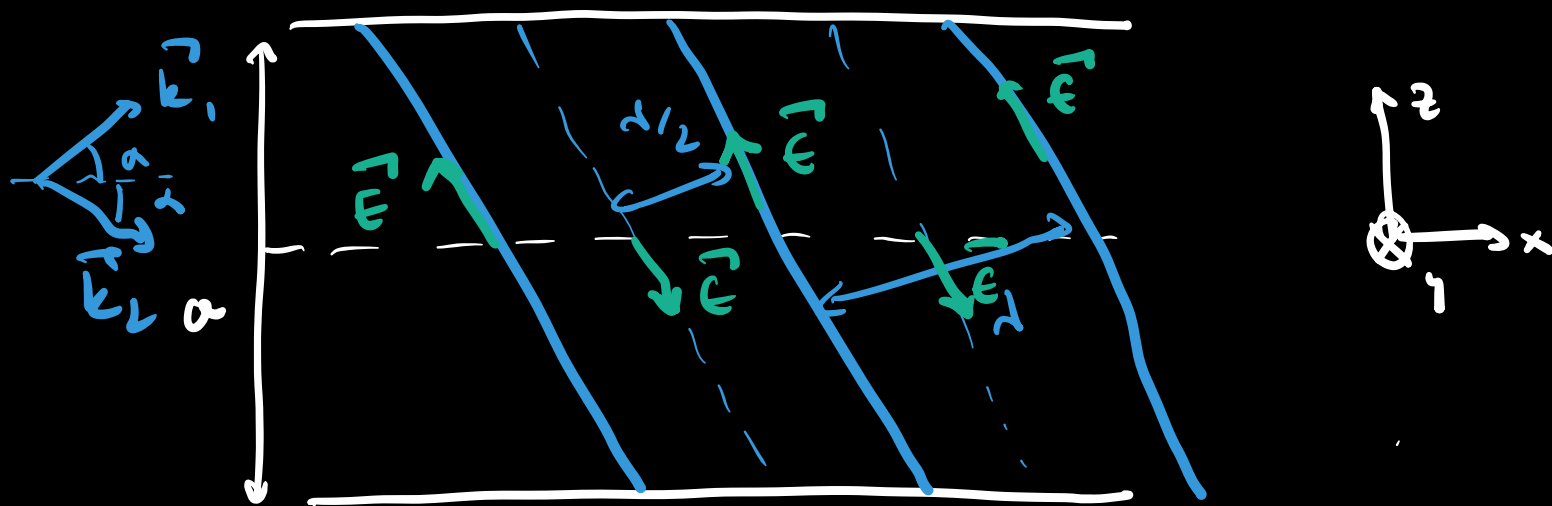
- les CLs induisent de la dispersion, même si le milieu de propagation est non dispersif.
- On trouve l'ED analogique à celle de l'éqn de KG: le confinement impose des fréq. seuil caractéristiq au syst.

↳ on a vu ds le chapitre précédent q̄ cela induisait de la dispersion.

La en a l'une des démonstrations de pulsations propres : c'est la CQ des CLs et de l'apparition d'OS selon la diode \bar{c}_2 comme nous le verrons par la suite.

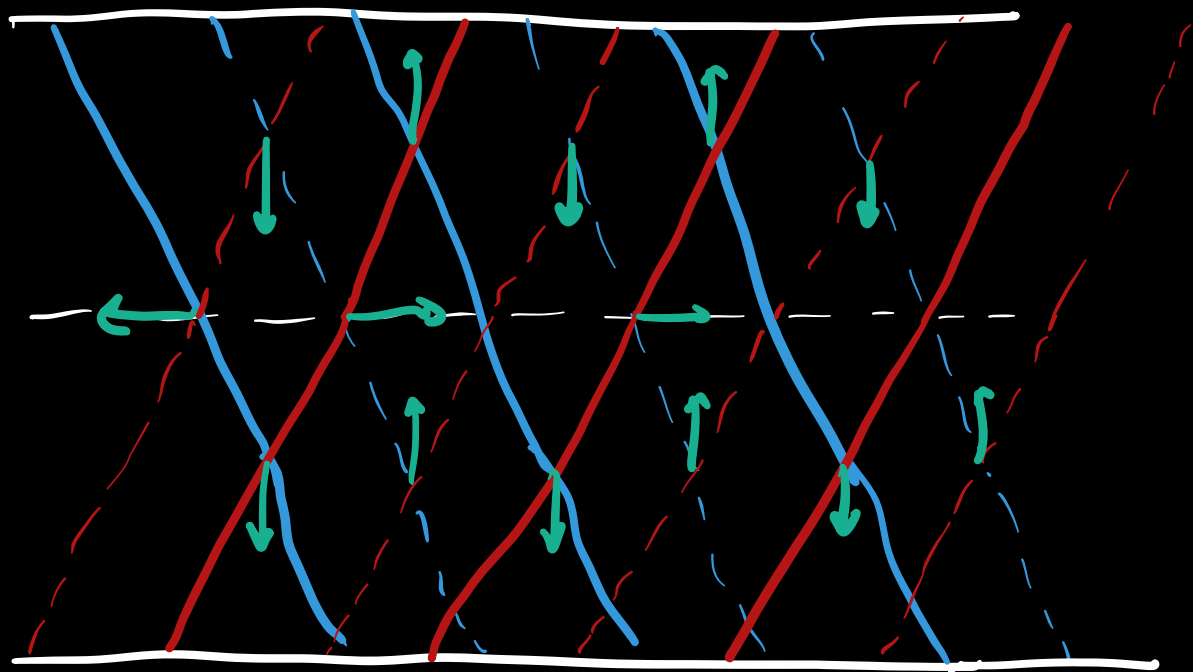
b) Onde ex entre 2 miroirs

- On considère l'espace délimité par 2 conducteurs parfaits (miroirs).



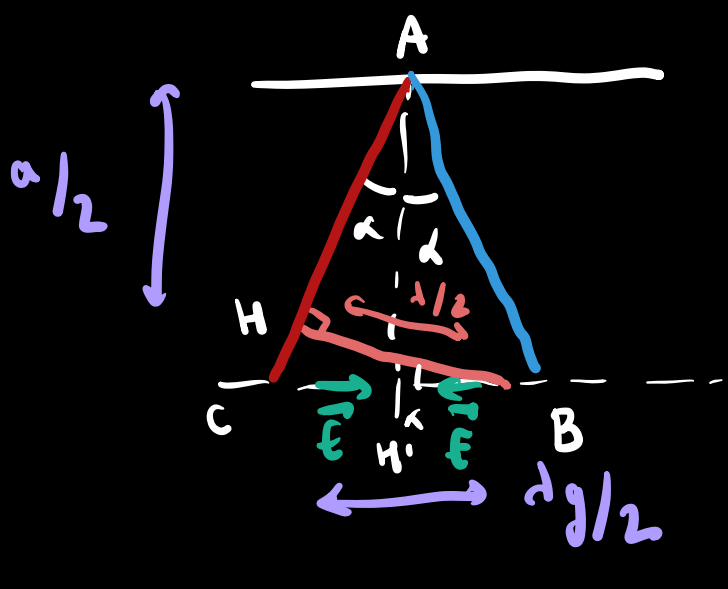
- Pourtant de la compante transverse de $\vec{\epsilon}$, $\vec{\epsilon}$ est normal aux conducteurs.
- On considère l'OPPS $t \cdot q \vec{k}_i = k (\cos \bar{c}_x + \sin \alpha \bar{c}_z)$
la 1re équation ne vérifie pas les CLs car le chp $\vec{\epsilon}$ doit s'annuler sur les miroirs alors qu'à l'état vibratoire est le même que du plein.

- On considère donc 1 2^{nde} OPPS t. q $\vec{k}_2 = k (\cos \alpha \vec{e}_x - \sin \alpha \vec{e}_z)$ et on s'intéresse au dip résultant des 2 OPPS.



RQ: On choisit les 2 OPPS t. q elles sont en opposition de phas en $z=0$

CQD: le dip résultant sera 90° à la vende q les minéraux soient placés là où $\vec{E} \parallel \vec{e}_z$.



$$\rightarrow \Delta ABH'$$

$$\frac{\lambda g}{4} = \frac{a}{2} \tan \alpha$$

$$\lambda g = 2a \tan \alpha$$

$$\rightarrow \Delta CBH$$

$$\alpha/2 = (\lambda g/2) \cos \alpha$$

$$\lambda g = \frac{1}{\cos \alpha}$$

$$\Rightarrow \frac{1}{\lambda g^2} = 4a^2 \tan^2 \alpha = 4a^2 \left(\frac{1}{\cos^2 \alpha} - 1 \right) \\ = 4a^2 \left(\frac{\frac{1}{\lambda^2}}{a^2} - 1 \right)$$

$$1 = \frac{4a^2}{\lambda g^2} \left(\frac{1}{\lambda^2} - 1 \right)$$

$$\frac{1}{4a^2} = \frac{1}{\lambda^2} - \frac{1}{\lambda g^2}$$

$$\Rightarrow \boxed{\frac{1}{\lambda g^2} = \frac{1}{\lambda^2} - \frac{1}{4a^2} = \frac{1}{\lambda^2} - \frac{1}{\lambda c^2} \quad \text{où } \lambda c = 2a}$$

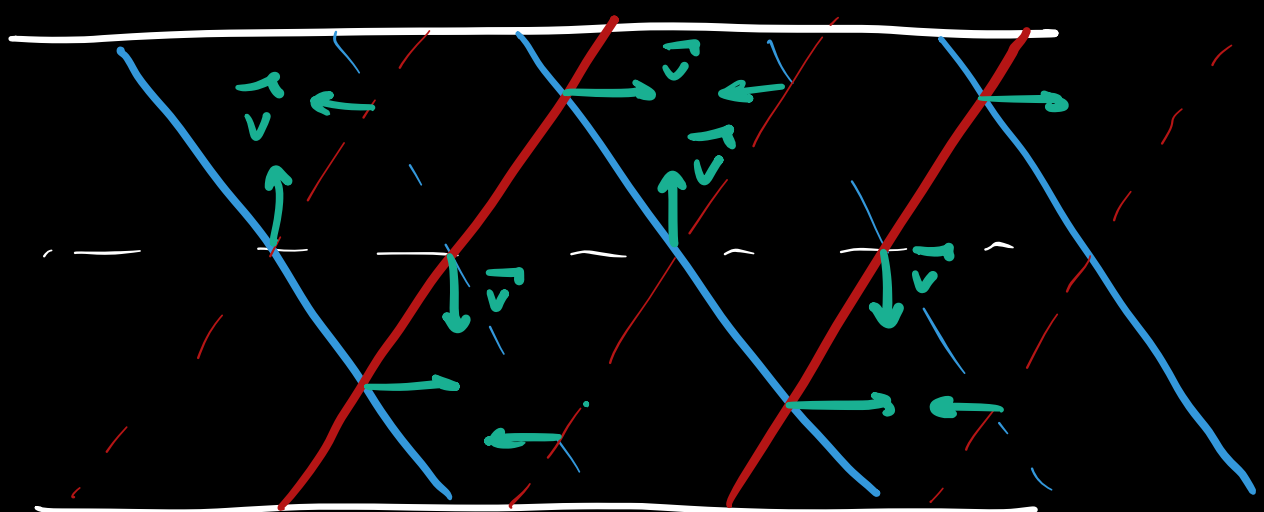
$$\Rightarrow \boxed{\lambda g^2 = \frac{\omega^2 - \omega_c^2}{c^2} \quad \text{où } \omega_c = \frac{\pi c}{a}}$$

- On retrouve les résultats énoncés précédemment concernant la dispersion, correspondant à l'onde angulaire en \vec{k} , ainsi qu'à ce que l'on a fait $\sum \vec{L}$ DPPS de recherches d'onde \vec{f} , ce qui conduit à l'onde progressive selon \vec{x} et stationnaire selon \vec{c} .

• Réq: Notre analyse ici ne nous a permis de trouver qu'à la fin pulsat de coupeuse, contrairement à l'exemple précédent. On verra en réalité qu'à ce cas aussi, il y a autre(s) de pulsat de coupeuse caractéristiq.

c) Ondes acoustiq entre 2 solides indéformables

• On s'inspire de l'qui a on souhaite confiner l'onde acoustiq : pour cela on sandwiche le milieu par 2 syst. de haute impédance acoustiq, de sorte qu'à la composante normale du chp de vitesse s'annule aux bords.



⚠ Ici le chp de vitesses \vec{v} et \perp aux plans d'onde (onde longitudinale)

• Là encore, on ne peut pas mettre le guide

d'où n'importe où, mais uniquement là où
 $\vec{v} \parallel \vec{ex}$.

↳ on trouvera alors la m^e RD.

• Réf: Ici aussi, en réalité, il y a l'absence de pulsations de courants caractéristiq.

II. ETUDE QUANTITATIVE DU GUIDEAGE ENTRE DEUX PLANS

1) Mise en éq

- On le fait de la forme entre 2 murs.
Dès ce cadre, l'éq a l'accoustiq présentent de nombreuses similitudes, mais aussi quelques q'nes mentionnons à la fin.
- Pour cela, on part des relations de couplage, i.e. des éqs de Maxwell.

$$\left\{ \begin{array}{l} \vec{\nabla} \cdot \vec{E} = 0 \\ \vec{\nabla} \cdot \vec{B} = 0 \end{array} \right. \quad \vec{\nabla} \times \vec{E} = - \frac{\partial \vec{B}}{\partial t} \quad \vec{\nabla} \times \vec{B} = \frac{1}{c^2} \frac{\partial \vec{E}}{\partial t}$$

- On ajoute également les CLs en utilisant la continuité des composantes tangentielle de \vec{E} et normale de \vec{B} :

$$E_x(x, y, 0, t) = E_x(x, y, a, t) = 0$$

$$E_y(x, y, 0, t) = E_y(x, y, a, t) = 0$$

$$B_z(x, y, 0, t) = B_{\bar{z}}(x, y, a, t) = 0$$

- On cherche les sol° se propageant selon x et par linéarité des éqns, on peut considérer des ondes sinusoïdales :

$$\left\{ \begin{array}{l} \vec{E} = \vec{E}_0(x, y, z) e^{i\omega t} \\ \vec{B} = \vec{B}_0(x, y, z) e^{i\omega t} \end{array} \right. \quad \begin{array}{l} \text{invariance} \\ \text{par translation} \\ \text{selon } \vec{e}_y \end{array}$$

- On obtient alors :

$$\left\{ \begin{array}{l} \frac{\partial E_{0,x}}{\partial x} + \frac{\partial E_{0,z}}{\partial z} = 0 \\ \frac{\partial B_{0,x}}{\partial x} + \frac{\partial B_{0,z}}{\partial z} = 0 \\ -\frac{\partial E_{0,y}}{\partial z} = -i\omega B_{0,x} \\ \frac{\partial E_{0,x}}{\partial z} - \frac{\partial E_{0,z}}{\partial x} = -i\omega B_{0,y} \\ \frac{\partial E_{0,y}}{\partial x} = -i\omega B_{0,z} \\ -\frac{\partial B_{0,y}}{\partial z} = i\frac{\omega}{c} E_{0,x} \\ \frac{\partial B_{0,x}}{\partial z} - \frac{\partial B_{0,z}}{\partial x} = i\frac{\omega}{c} E_{0,y} \\ \frac{\partial B_{0,y}}{\partial x} = i\frac{\omega}{c} E_{0,z} \end{array} \right. \quad \begin{array}{l} \text{- ne couplent pas} \\ E_{0,x}, E_{0,z}, B_{0,y} \\ B_{0,x}, B_{0,z}, E_{0,y} \\ B_{0,x}, B_{0,z}, E_{0,y} \end{array}$$

- On peut donc par linéarité étudier les 2 familles de sol° t.q.

$$\bullet \left\{ \begin{array}{l} E_{0,x} = 0 \\ E_{0,y} \neq 0 \\ E_{0,z} = 0 \end{array} \right.$$

TE

car $\vec{E} \parallel \vec{e}_y \perp \vec{e}_x$: direction de propag.

$$\bullet \left\{ \begin{array}{l} E_{0,x} \neq 0 \\ E_{0,y} = 0 \\ E_{0,z} \neq 0 \end{array} \right.$$

TM

car $\vec{B} \parallel \vec{e}_y$

- Par linéarité, on peut chercher les sol° avec l dépendance \sim en x :

$$\left\{ \begin{array}{l} \vec{E} = \vec{E}_0(z) e^{i(\omega t - kx)} \\ \vec{B} = \vec{B}_0(z) e^{i(\omega t - kx)} \end{array} \right.$$

2) Calcul des modes

a) Modes TE

- Ainsi dans le cas des sol° TE, on a :

$$\left\{ \begin{array}{l} \frac{dE_{0,y}}{dz} = i\omega B_{0,x} \\ k_y E_{0,y} = \omega B_{0,z} \\ \frac{dB_{0,x}}{dz} + ik_y B_{0,z} = \frac{i\omega}{c^2} E_{0,y} \end{array} \right.$$

qu'on peut résoudre en 1 éqn vérifiée par $E_{0,y}$, $B_{0,x}$ et $B_{0,z}$:

$$\frac{d^2 \underline{\epsilon}_{0,y}}{dz^2} = i\omega \left(\frac{i\omega}{c_L} \underline{\epsilon}_{0,y} - ik_B B_{0,z} \right)$$

$$= -\frac{\omega^2}{c_L} \underline{\epsilon}_{0,y} + k_B^2 \underline{\epsilon}_{0,y}$$

éqn de Helmholtz

$$\Rightarrow \boxed{\frac{d^2 \underline{\epsilon}_{0,y}}{dz^2} + \left(\frac{\omega^2}{c_L} - k_B^2 \right) \underline{\epsilon}_{0,y} = 0}$$

- RQ: On retrouve l'éqn de D'Alembert en TF \rightarrow auf!
- Il faut maintenant résoudre avec les Cds: $\underline{\epsilon}_{0,y}(0) = \underline{\epsilon}_{0,y}(a) = 0$

\hookrightarrow pour avoir l'sol° non nulle, il faut q̄ $\alpha^2 = \frac{\omega^2}{c_L} - k_B^2 > 0$ (sol° oscillante) et

ds le cas, en a:

$$\underline{\epsilon}_{0,y}(z) = A \cos(\alpha z) + B \sin(\alpha z).$$

$$\left\{ \begin{array}{l} A=0 \\ A \cos(\alpha a) + B \sin(\alpha a) = 0 \end{array} \right. \Leftrightarrow \left\{ \begin{array}{l} A=0 \\ \sin(\alpha a) = 0 \end{array} \right.$$

$$\Rightarrow \alpha = \frac{n\pi}{a} \text{ avec } n \in \mathbb{N}^* \quad (\text{car } n \rightarrow -n$$

revient juste à inverser le sens de \vec{E}).

- RQ: Si $A=0$ alors le chp est nul, idem si $m=0$.

• CL: 1) Des fait de confinement latéral de l'onde, on observe comme attendu l'apparition de modes, appelés modes $TE_{m,n}$, correspondant à l'quantification des vecteurs d'onde ($m \in \mathbb{N}^*$)

$$\left\{ \begin{array}{l} \vec{E}_n = \vec{e}_y E_{0,n} \sin\left(\frac{n\pi z}{a}\right) \cos(\omega t - k_{g,n} x + \phi_n) \\ \vec{B}_n = \vec{e}_z E_{0,n} \frac{k_{g,n}}{\omega} \sin\left(\frac{n\pi z}{a}\right) \cos(\omega t - k_{g,n} x + \phi_n) \\ \quad + \vec{e}_x E_{0,n} \frac{n\pi}{wa} \cos\left(\frac{n\pi z}{a}\right) \sin(\omega t - k_{g,n} x + \phi_n) \end{array} \right.$$

↳ jamais la structure d'onde plane $\vec{B}_n \vec{e}_x \neq 0$

2) On retrouve la RD obtenue qualitativement mais aussi on a tous les modes, alors qu'precedemment, on avait que le mode TE_1 :

$$k_{g,n}^2 = \frac{\omega^2}{c^2} - \frac{n^2 \pi^2}{a^2} = \frac{\omega^2 - \omega_{c,n}^2}{c^2}, \omega_c = \frac{n\pi c}{a}$$

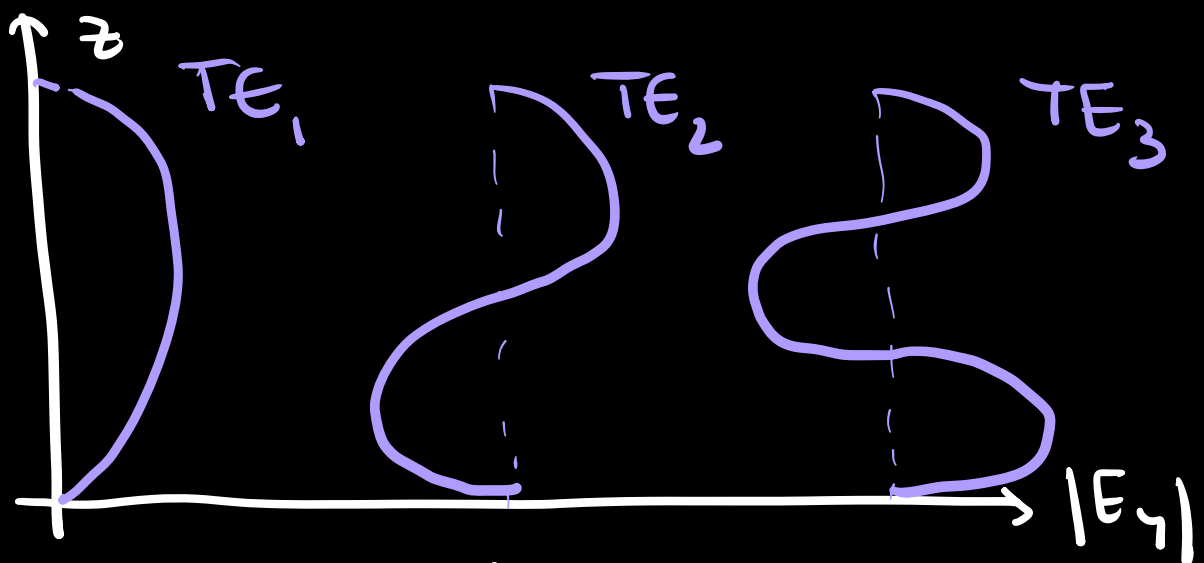
3) On a obtenu la structure (polarsat du mode):

→ $\vec{E} \parallel \vec{e}_y$: transverse elec.

→ $B_x \neq 0$: non transverse mag.

→ onde propreme selon x

→ onde stationnaire selon z



4) On peut voir que l'énergie se propage bien selon \vec{E}_x , comme attendu pour ce dispositif:

$$\overline{\Pi}_n = \left\langle \overline{E}_n \times \overline{B}_n \right\rangle = \frac{\epsilon_0 n^2 k g_n \sin^2 \left(\frac{n\pi z}{a} \right)}{2 \mu_0} \overline{E}_x$$

- Rq: On parle de mode bien q̄ l'onde ne soit pas stationnaire (elle l'est uniquement selon z).

b) Réder TM

- Pour les sol° TM, on a les eqns:

$$\left\{ \begin{array}{l} -ikg_{0,x} + \frac{d\epsilon_{0,z}}{dz} = 0 \\ \frac{dB_{0,x}}{dz} + ikg_{0,z} = -iwB_{0,y} \\ -\frac{dB_{0,y}}{dz} = iw \frac{\epsilon_{0,x}}{c^2} \end{array} \right.$$

$$-\kappa B_{0,y} = \frac{\omega}{c_s} E_{0,z}$$

$$+ \text{CLS} \quad \left\{ \begin{array}{l} \frac{dB_{0,y}}{dz}(x, y, 0, t) \propto E_{0,x}(x, y, 0, t) = 0 \\ \frac{dB_{0,y}}{dz}(x, y, a, t) = 0 \end{array} \right.$$

- On trouve alors la 2^e éqn pour $B_{0,y}$ qui en résout en:

$$B_{0,y}(z) = A \cos(\alpha z) + B \sin(\alpha z)$$

$$\left\{ \begin{array}{l} B_\alpha = 0 \\ -A\alpha \sin(\alpha a) + B\alpha \cos(\alpha a) = 0 \end{array} \right.$$

$$\Rightarrow \left\{ \begin{array}{l} \vec{B}_n = B_0 \cos\left(\frac{n\pi z}{a}\right) \cos(wt - \kappa x) \hat{e}_y \\ \vec{E}_n = B_0 \frac{n\pi c^2}{aw} \sin\left(\frac{n\pi z}{a}\right) \sin(wt - \kappa x) \hat{e}_x \\ -\frac{\kappa n c B_0}{w} \cos\left(\frac{n\pi z}{a}\right) \cos(wt - \kappa x) \hat{e}_z \end{array} \right.$$

pour $n \in \mathbb{N}$ + m RD

- Centralement aux modes $T\vec{E}_n$ pour lesquels $n > 1$, les modes $T\vec{N}_n$ autorisent le

canal $n=0$. Dans ce cas, on a:

$$\left. \begin{aligned} \text{TM}_0 & \quad \vec{B} = B_0 \vec{e}_y \cos(\omega r - k_{q,0} z) \\ & \quad \vec{E} = -\frac{\omega}{k_{q,0} c^2} B_0 \cos(\omega r - k_{q,0} z) \vec{e}_z \end{aligned} \right\}$$

avec $k_{q,0} = \frac{\omega}{c}$

→ le mode TM_0 a la structure d'ordre plane, et ne sent pas les CLs (RD ds le vide).

- les modes TE + TM représentent la base de sol° de cette onde se propageant dans le guide.

c) Cas des ondes acoustiques

- On a vu ds le 1^{er} chap. q̄ les éqns de ce chapitre s'écrivaient

$$\left. \begin{aligned} \frac{\partial p}{\partial t} &= -\frac{1}{\chi_s} \vec{\nabla} \cdot \vec{v} \\ \frac{\partial \vec{v}}{\partial t} &= -\frac{1}{g_0} \vec{\nabla} p \end{aligned} \right\} + \text{CLs} \quad \left. \begin{aligned} v_z(x, y, 0, t) \\ = v_z(x, y, a, t) \\ = 0 \end{aligned} \right\}$$

. On cherche des sol°

$$\left\{ \begin{array}{l} \underline{p}(x, z, t) = p_0(z) e^{i(wt - hg x)} \\ \underline{v}(x, z, t) = v_0(z) e^{i(wt - hg x)} \end{array} \right.$$

. On obtient alors

$$\left\{ \begin{array}{l} iw\underline{p}_0 = i \frac{hg}{\chi_s} \underline{v}_{0,x} - \frac{1}{\chi_s} \frac{d\underline{v}_{0,z}}{dz} \\ iw\underline{v}_{0,x} = \frac{hg}{g_0} \underline{p}_0 \\ iw\underline{v}_{0,y} = 0 \\ iw\underline{v}_{0,z} = - \frac{1}{\rho_0} \frac{d\underline{p}_0}{dz} \end{array} \right.$$

. On en déduit \bar{q} $\underline{v}_{0,x} = \frac{hg}{w\rho_0} \underline{p}_0$

$$\Rightarrow iw\underline{p}_0 = \frac{i hg^2}{\omega \rho_0 \chi_s} \underline{p}_0 - \frac{1}{\chi_s} \frac{d\underline{v}_{0,z}}{dz}$$

$$\left(\frac{d}{dz} \right)$$

$$\Rightarrow \omega^2 \rho_0 \underline{v}_{0,z} = \frac{hg^2}{\chi_s} \underline{v}_{0,z} - \frac{1}{\chi_s} \frac{d\underline{v}_{0,z}}{dz^2}$$

$$\Rightarrow \frac{d^2 v_{0,z}}{dz^2} + \left(\frac{\omega^2}{c_s^2} - kg^2 \right) v_{0,z} = 0$$

$$\text{au } c = \frac{1}{\sqrt{p_0 \chi_s}}$$

$$\Rightarrow v_{0,z}(z) = A \sin(\alpha z) + B \cos(\alpha z)$$

$$\text{and } \alpha^2 = \frac{\omega^2}{c_s^2} - kg^2$$

$$v_{0,z}(0) = v_{0,z}(a) = 0 \Leftrightarrow \begin{cases} B = 0 \\ A = 0 \text{ or} \\ \sin(\alpha a) = 0 \end{cases}$$

$$\sin(\alpha a) = 0 \Leftrightarrow \alpha a = n\pi \quad n \in \mathbb{N}$$

$$\Leftrightarrow \alpha_n = \frac{n\pi}{a} \quad n \in \mathbb{N}$$

$$\Rightarrow \boxed{\begin{cases} p_n = p_0 \cos\left(\frac{n\pi z}{a}\right) \cos(wt - kgx) \\ \vec{v}_n = \frac{p_0 k g n}{\rho_0 \omega} \cos\left(\frac{n\pi z}{a}\right) \cos(wt - kgx) \vec{e}_x \\ \quad + \frac{n\pi}{\rho_0 \omega a} p_0 \sin\left(\frac{n\pi z}{a}\right) \sin(wt - kgx) \vec{e}_z \end{cases}}$$

per $n \in \mathbb{N}$ + \vec{m} RD.

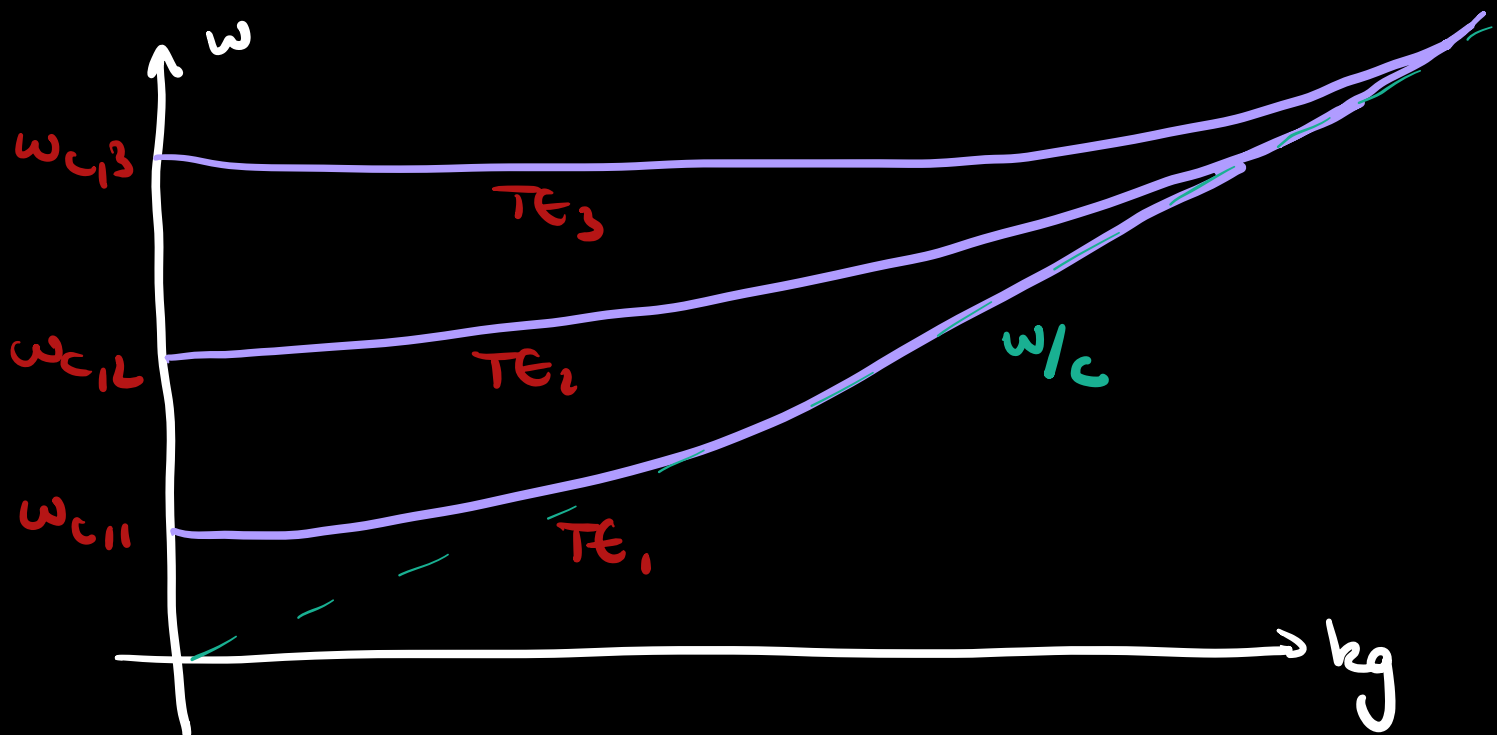
↳ analogue aux modes TM en spé où p joue le rôle de \vec{B} et \vec{v} le rôle de \vec{E} .

⚠ cependant que les ondes acoustiques sont longitudinales alors que les ondes spé sont transverses (les composantes de \vec{E} et \vec{v} sont inversées).

3) Analyse de la dispersion

. On trace les RDs des 3 modes TE.

RQ: On parle de RD bien que l'onde ne soit pas 1OP³S. C'est parce qu'en a tenu compte des CLs, mais l'onde a l'structure propagative selon \vec{x} , et en rappelle qu'elle s'obtient par Σ de 2 OP³S qui vérifient cette RD.



- Imaginons que l'on envoie un signal monomode matiq de pulsation ω à laquelle il se décompose sur tous les modes:
 - $\omega < \omega_{c,1}$: rien n'est transmis ($k_0^2 < 0$) → l'onde est évanescante et est totalement réfléchie à l'entrée du guide.
 - $\omega_{c,1} < \omega < \omega_{c,2} \Rightarrow$ seule la composante du signal sur le 1^{er} canal (mode TE₁₀ / TM₁₀) peut se propager.
⇒ on parle de guide d'onde monomode.
 - $\omega > \omega_{c,2} \rightarrow$ les composantes sur tous les canaux t. q. $\omega_c < \omega$ peuvent se propager
⇒ on parle de guide d'onde multimode.

- Il y a alors \neq sources de dispersion:
 - * dispersion intermode: à ω donné, les composantes sur les \neq canaux ne se propagent à la même vitesse car

$$v_{g,m} = \frac{\omega}{k_{g,m}} = \frac{c}{\sqrt{1 - (\omega_{c,m}/\omega)^2}}$$

\Rightarrow le signal va se déformer dans le guide

* dispersion intramode: pour le paquet d'onde du seul canal, on a:

$$v_{g,m} = \frac{dw}{dk_{g,m}} = c \sqrt{1 - (\omega_{c,m}/\omega)^2}$$

et donc le paquet d'onde va se déformer

* dispersion par le milieu: dispersion induite par le milieu du guide s'il est complexe.

- Pour limiter la dispersion:

- 1) choisir le milieu t. q. de la certaine gamme de fréq., la dispersion par le milieu compense la dispersion intramode.

ex: fibres optiq

↳ cela n'est possible q pour le guide monomode car compenser les 2

sondes de dispersion est empêché par plusieurs modes.

2) considérons l'guide d'onde mono mode, soit:

$$\omega_{c,1} < \omega < \omega_{c,2} \Leftrightarrow a < d < 2a$$

où d est la longueur d'onde de la vode (pas de bords)

On retiendra que pour faire l'guide d'onde monomode avec 2 pleins, il faut que la dim. du guide soit de l'ordre de d .

ex: acoustique $f = 1 \text{ kHz}$
 $\Rightarrow d = \frac{c}{f} = 34 \text{ cm}$ OK

par $f = 1 \text{ kHz} \Rightarrow d = \frac{c}{f} = 3 \cdot 10^5 \text{ m}$
 $= 300 \text{ km}$

Le emp: en TP on utilise autre chose
(câble coax.)

Le par contre ce sera possible dans le domaine des ondes centimétriques.

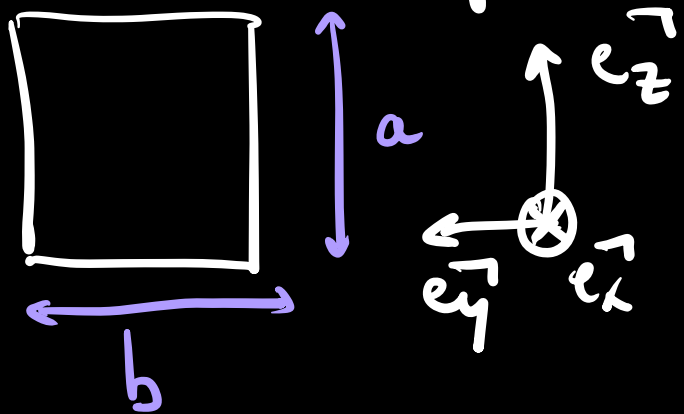
Applicat: plasma ionosphérique joue le

voie d'Imrie parfait à sa pulsation plasma $\omega < \omega_p$ avec $f_p = 1-10 \text{ MHz}$.
 => guide d'onde pour les ondes radio.

4) Guide rectangle

a) Résumé des résultats

- En pratique, afin de connaître mieux l'énergie, on fait des guides d'onde rectangles



- On obtient des résultats similaires mais avec 1 quantification supplémentaire du fait du confinement selon e_y (ondes stationnaires seules).
- On aura des modes TE_{mn} et TM_{mn} indexés par 2 entiers (m, n)

$$\omega_{g,mn}^2 = \frac{\omega^2 - \omega_{c,mn}^2}{c^2} \quad \text{où } \omega_{c,mn} = \pi c \sqrt{\left(\frac{n}{a}\right)^2 + \left(\frac{m}{b}\right)^2}$$

Données de la dispersion car pour les

modes TE, $(n, m) \in \mathbb{N}^2 \setminus \{(0, 0)\}$ tenu à g
pour les modes TM, $(n, m) \in \mathbb{N}^* \times \mathbb{N}^*$.

b) Mise en équ

- On cherche des sol° propagatives selon x et harmoniq.

$$\left\{ \begin{array}{l} \vec{E}(x, y, z, t) = \vec{E}_0(y, z) e^{i(\omega t - kx)} \\ \vec{B}(x, y, z, t) = \vec{B}_0(y, z) e^{i(\omega t - kx)} \end{array} \right.$$

- En remplaçant cette forme dans les éqns de Maxwell, on trouve

$$-ikg E_{0,x} + \frac{\partial E_{0,y}}{\partial y} + \frac{\partial E_{0,z}}{\partial z} = 0 \quad (1)$$

$$-ikg B_{0,x} + \frac{\partial B_{0,y}}{\partial y} + \frac{\partial B_{0,z}}{\partial z} = 0 \quad (2)$$

$$\frac{\partial E_{0,z}}{\partial y} - \frac{\partial E_{0,y}}{\partial z} = -iwB_{0,x} \quad (3)$$

$$\frac{\partial E_{0,x}}{\partial z} + ikg E_{0,z} = -iwB_{0,y} \quad (4)$$

$$-ikg E_{0,y} - \frac{\partial E_{0,x}}{\partial y} = -iwB_{0,z} \quad (5)$$

$$\frac{\partial B_{0,z}}{\partial y} - \frac{\partial B_{0,y}}{\partial z} = \frac{i\omega}{c^2} E_{0,x} \quad (6)$$

$$\frac{\partial \underline{B}_{0,x}}{\partial z} + i\omega \underline{B}_{0,z} = \frac{i\omega}{c^2} \underline{E}_{0,y} \quad (7)$$

$$-i\omega \underline{B}_{0,y} - \frac{\partial \underline{B}_{0,x}}{\partial y} = \frac{i\omega}{c^2} \underline{E}_{0,z} \quad (8)$$

• Il faut ensuite vérifier les CLs

$$\underline{E}_{0,x}(x, y, 0, t) = \underline{E}_{0,x}(x, y, a, t) = 0$$

$$\underline{E}_{0,y}(x, y, 0, t) = \underline{E}_{0,y}(x, y, a, t) = 0$$

$$\underline{B}_{0,z}(x, y, 0, t) = \underline{B}_{0,z}(x, y, a, t) = 0$$

$$\underline{E}_{0,x}(x, 0, z, t) = \underline{E}_{0,x}(x, b, z, t) = 0$$

$$\underline{E}_{0,z}(x, 0, z, t) = \underline{E}_{0,z}(x, b, z, t) = 0$$

$$\underline{B}_{0,y}(x, 0, z, t) = \underline{B}_{0,y}(x, b, z, t) = 0$$

• Entre les 2 conducteurs, on est du le
vide donc les chps \vec{E} et \vec{B} vérifient
l'EOC, par exemple pour la tempérante
selon x de \vec{E} :

$$\hookrightarrow \frac{\partial^2 \underline{E}_{0,x}}{\partial y^2} + \frac{\partial^2 \underline{E}_{0,x}}{\partial z^2} + \left(\frac{\omega^2}{c^2} - k^2 \right) \underline{E}_{0,x} = 0$$

- On procède par séparation des variables

$$E_{\text{tot}}(y, z) = F(y) G(z)$$

$$\Rightarrow \frac{F''(y)}{F(y)} + \frac{G''(z)}{G(z)} + \frac{\omega^2}{c^2} - kg^2 = 0$$

$$\Rightarrow \begin{cases} F''(y) = -\beta^2 F(y) \\ G''(z) = -\alpha^2 G(z) \end{cases} \quad \begin{array}{l} \text{avec } \frac{\omega^2}{c^2} - kg^2 \\ = \alpha^2 + \beta^2 \end{array}$$

- Les C.I.s imposent $\alpha^2 > 0$ et $\beta^2 > 0$, de sorte

$$\left\{ \begin{array}{l} F(y) = C \sin(\beta y) + D \cos(\beta y) \\ G(z) = A \sin(\alpha z) + B \cos(\alpha z) \end{array} \right.$$

- En utilisant les C.I.s, on trouve

$$\left\{ \begin{array}{l} B = D = 0 \\ A \sin(\alpha a) = 0 \quad \text{et} \quad C \sin(\beta b) = 0 \end{array} \right.$$

- Cela est éq. à dire que α et β ne peuvent prendre qu'un nombre discret de valeurs:

$$\alpha = \frac{n\pi}{a} \quad \text{et} \quad \beta = \frac{m\pi}{b} \quad \text{avec } n, m \in \mathbb{Z}$$

- On peut procéder pareillement pour $B_{0,x}$.

$$\hookrightarrow \frac{\partial^2 B_{0,x}}{\partial y^2} + \frac{\partial^2 B_{0,x}}{\partial z^2} + \left(\frac{\omega^2}{c^2} - k^2 \right) B_{0,x} = 0$$

et séparant des variables $B_{0,x}(y, z) = F(y)G(z)$

$$\Rightarrow \begin{cases} F''(y) = -\beta^2 F(y) \\ G''(z) = -\alpha^2 G(z) \end{cases} \text{ avec } \alpha^2 + \beta^2 = \frac{\omega^2}{c^2} - k^2$$

- CLS: $\left\{ \frac{\partial B_{0,x}}{\partial z}(x, y, 0, t) = \frac{\partial B_{0,x}}{\partial z}(x, y, a, t) = 0 \right.$

$$\left. \frac{\partial B_{0,x}}{\partial y}(x, 0, z, t) = \frac{\partial B_{0,x}}{\partial y}(x, b, z, t) = 0 \right.$$

(à partir des eqns (7) et (8)).

$$\Rightarrow \begin{cases} F(y) = C' \cos(\beta y) \\ G(z) = A' \sin(\alpha z) \end{cases} \text{ avec } \begin{cases} \alpha_n = \frac{n\pi}{a} & n, m \in \mathbb{Z} \\ \beta_m = \frac{m\pi}{b} \end{cases}$$

- on combine alors les eqns de Maxwell

$$\frac{\partial}{\partial z} (2) + \frac{\partial}{\partial y} (6) :$$

$$\Rightarrow -ikg \frac{\partial \underline{B}_{0,x}}{\partial z} + \frac{\partial^2 \underline{B}_{0,z}}{\partial z^2} + \frac{\partial^2 \underline{B}_{0,y}}{\partial y^2} = i\omega \frac{\partial \underline{E}_{0,x}}{\partial z} \frac{\partial}{\partial y}$$

$$\frac{\partial^2 \underline{B}_{0,z}}{\partial y^2} + \frac{\partial^2 \underline{B}_{0,x}}{\partial z^2} = i\omega \frac{\partial \underline{E}_{0,x}}{\partial z} + ikg \frac{\partial \underline{B}_{0,x}}{\partial z} \quad (9)$$

\Rightarrow en procédant pareillement pour toutes les composantes, on en déduit qu'elles s'expriment toutes en fonction de $\underline{E}_{0,x}$ et $\underline{B}_{0,x}$.

On pourra écrire le sol° comme superpo
sit de sol° pour lesquelles $E_{0,x} = 0$ (mode TE) et pour lesquelles $B_{0,x} = 0$ (mode TM).

c) Calcul des modes TE

• Sol° en mode TE: $E_{0,x} = 0$

$$\frac{\partial \underline{E}_{0,y}}{\partial y} + \frac{\partial \underline{E}_{0,z}}{\partial z} = 0 \quad (1')$$

$$kg \underline{E}_{0,z} = -\omega \underline{B}_{0,y} \quad (4')$$

$$kg \underline{E}_{0,y} = \omega \underline{B}_{0,z} \quad (5')$$

$$\frac{\partial \underline{B}_{0,z}}{\partial y} = \frac{\partial \underline{B}_{0,y}}{\partial z} \quad (6')$$

$$\text{et } \frac{\partial^2 \underline{B_{0,z}}}{\partial y^2} + \frac{\partial^2 \underline{B_{0,y}}}{\partial z^2} = ikg \frac{\partial \underline{B_{0,x}}}{\partial z} (g')$$

On en déduira alors les sol° en mode TE

$$\vec{E}_{nm} = E_{0,nm} \left[\frac{nb}{b} \sin\left(\frac{n\pi z}{a}\right) \cos\left(\frac{m\pi y}{b}\right) \right.$$

$$\quad \cos(\omega t - kg_{nm}x) \vec{e}_y$$

$$- ma \cos\left(\frac{n\pi z}{a}\right) \sin\left(\frac{m\pi y}{b}\right)$$

$$\quad \left. \cos(\omega t - kg_{nm}x) \vec{e}_z \right]$$

$$\vec{B}_{nm} = E_{0,nm} \left[nb \frac{kg_{nm}}{\omega} \sin\left(\frac{n\pi z}{a}\right) \cos\left(\frac{m\pi y}{b}\right) \right.$$

$$\quad \cos(\omega t - kg_{nm}x) \vec{e}_z$$

$$+ \frac{kg_{nm}}{\omega} ma \cos\left(\frac{n\pi z}{a}\right) \sin\left(\frac{m\pi y}{b}\right)$$

$$\quad \cos(\omega t - kg_{nm}x) \vec{e}_y$$

$$+ \frac{\pi}{ab\omega} \left(n^2 b^2 + m^2 a^2 \right) \cos\left(\frac{n\pi z}{a}\right) \cos\left(\frac{m\pi y}{b}\right)$$

$$\quad \left. \sin(\omega t - kg_{nm}x) \vec{e}_x \right]$$

pour $(m, n) \in \mathbb{N}^2 \setminus \{(0, 0)\}$,

avec la R.D.

$$k_{g, mn}^2 = \frac{\omega^2 - \omega_{c, mn}^2}{c^2}$$

$$\omega_{c, mn} = \sqrt{\left(\frac{m\pi c}{a}\right)^2 + \left(\frac{n\pi c}{b}\right)^2}$$

- Rq: les modes TE_{mn} correspondent aux modes TE_m du guide d'ondes entre 2 ploq co.

d) Calcul des modes

TM

- Calcul des modes TM: $B_{0,x} = 0$

$$\frac{\partial B_{0,y}}{\partial y} + \frac{\partial B_{0,z}}{\partial z} = 0 \quad (2')$$

$$\frac{\partial E_{0,z}}{\partial y} = \frac{\partial E_{0,y}}{\partial z} \quad (3')$$

$$\text{kg } B_{0,y} = -\frac{\omega}{c^2} E_{0,z} \quad (8')$$

$$\text{kg } B_{0,z} = \frac{\omega}{c^2} E_{0,y} \quad (7')$$

et $\frac{\partial^2 B_{0,y}}{\partial y^2} + \frac{\partial^2 B_{0,z}}{\partial z^2} = i\omega \frac{\partial E_{0,x}}{\partial y} \quad (9')$

On en déduit alors les sol° en mode TM:

$$\vec{B}_{nm} = \frac{B_{0,nm}}{a} \left[mb \cos\left(\frac{m\pi z}{a}\right) \sin\left(\frac{m\pi y}{b}\right) \right.$$
$$\left. \cos(\omega t - k_g, nm x) \hat{e}_y \right]$$
$$- m a \sin\left(\frac{m\pi z}{a}\right) \cos\left(\frac{m\pi y}{b}\right)$$
$$\left. \cos(\omega t - k_g, nm x) \hat{e}_z \right]$$

$$E_{nm} = B_{0,nm} \frac{c^2}{\omega} \left[-mb k_g, nm \cos\left(\frac{m\pi z}{a}\right) \right.$$
$$\left. \sin\left(\frac{m\pi y}{b}\right) \cos(\omega t - k_g, nm x) \hat{e}_z \right]$$
$$+ ma k_g, nm \sin\left(\frac{m\pi z}{a}\right) \cos\left(\frac{m\pi y}{b}\right)$$
$$\cos(\omega t - k_g, nm x) \hat{e}_y$$
$$+ \frac{\pi}{ab} (m^2 b^2 + m^2 a^2) \sin\left(\frac{m\pi z}{a}\right) \sin\left(\frac{m\pi y}{b}\right)$$
$$\left. \sin(\omega t - k_g, nm x) \hat{e}_x \right]$$

pour $(n, m) \in \mathbb{N}^* \times \mathbb{N}^*$ et la \hat{m} RD.

RQ: Si $n=0$ ou $m=0$ alors le mode TM est identiquement nul.

+ On ne retrouve pas les modes TM_n du guide entre 2 plans α .

• En particulier, on notera qu'il y a pas de mode TEM, qui correspondrait à $(m, n) = (0, 0)$.

5) Vers l'approche + réaliste du guidage

a) Existence du mode TEM

- On a vu qu'il existerait 1 mode TEM ($TE_{0,0}$) pour le guidage entre 2 plans, mais qu'il disparaissait du guide d'ordre rectangulaire (+ réaliste).
- Ce mode est envoyé car la propagation selon

Le canal se fait de manière non disperive.

- On se demande sous quelle condition le mode TEM existe. Pour cela, on cherche l'inductance TEM:

$$\left\{ \begin{array}{l} \underline{\vec{E}} = \underline{\epsilon_0}(y, z) e^{i(\omega t - kx)} \\ \underline{\vec{B}} = \underline{B_0}(y, z) e^{i(\omega t - kx)} \end{array} \right. \quad \text{avec } \underline{\epsilon_0} \cdot \vec{e_x} = 0 \quad \underline{B_0} \cdot \vec{e_x} = 0$$

- Équations de Maxwell:

$$\nabla \cdot \vec{E} = 0 \Rightarrow \nabla \cdot \underline{\epsilon_0} - ik \vec{e_x} \cdot \underline{\epsilon_0} = 0$$

$$\Rightarrow \nabla \cdot \underline{\epsilon_0} = 0$$

$$\nabla \times \vec{E} = - \frac{\partial \vec{B}}{\partial t} \Rightarrow \nabla \times \underline{\epsilon_0} - ik \vec{e_x} \times \underline{\epsilon_0} = -i \omega \underline{B_0}$$

On $\nabla \times \underline{\epsilon_0} = \begin{pmatrix} 0 \\ \partial/\partial y \\ \partial/\partial z \end{pmatrix} \times \begin{pmatrix} 0 \\ \epsilon_{0,y} \\ \epsilon_{0,z} \end{pmatrix} = \begin{pmatrix} \frac{\partial \epsilon_{0,z}}{\partial y} - \frac{\partial \epsilon_{0,y}}{\partial z} \\ 0 \\ 0 \end{pmatrix}$

Donc en projetant l'éqn du NF selon e_x , on a

$$\left\{ \begin{array}{l} \nabla \times \underline{\epsilon_0} = 0 \\ \underline{B_0} = \frac{k}{\omega} \vec{e_x} \times \underline{\epsilon_0} \end{array} \right.$$

$$\vec{\nabla} \times \vec{B} = \frac{1}{c^2} \frac{\partial \vec{E}}{\partial t} \Rightarrow \left. \begin{array}{l} \vec{\nabla} \times \vec{B}_0 = \vec{0} \\ kq \vec{E} \times \vec{B}_0 = -\frac{\omega}{c^2} \vec{E}_0 \end{array} \right\}$$

\vec{m} raisonnement

- Il n'y aura alors 1 sol° si

$$kq \vec{E} \times \left(\frac{kq}{\omega} \vec{E} \times \vec{E}_0 \right) = -\frac{\omega}{c^2} \vec{E}_0$$

$\Rightarrow kq^2 = \frac{\omega^2}{c^2}$: la propagation du mode TE1 est forcée non disperive

Comme $\vec{\nabla} \times \vec{E}_0 = \vec{0}$, \vec{E}_0 dérive d'un potentiel scalaire

$$\hookrightarrow \vec{E}_0 = -\vec{\nabla} V_0 \text{ et } \vec{\nabla} \cdot \vec{E}_0 = 0 \Rightarrow \Delta V_0 = 0$$

DONC V_0 vérifie l'éqn de Laplace.

- En présence de conducteurs parfaits, le potentiel est cst ds les conducteurs (cette cst peut être pris = 0) et const à l'interface vide/conducteur.

• Cas 1: Si le guide est délimité par l seul conducteur, V_0 vérifie l éqn de Laplace avec des CIs de Dirichlet



\Rightarrow si l sol° existe, elle est unique, i.e il en existe une, à savoir $V_0 = 0$ partout.

\Rightarrow on en déduit $\bar{E}_0 = \bar{0}$ et $\bar{B}_0 = \bar{0}$ ds ce cas car le ϕ mode TEM ne peut se propager.

• Si le guide est délimité par 2 conducteurs ≠ alors le raisonnement précédent ne fonctionne plus si les 2 conducteurs sont portés à des potentiels ≠ los ds ce cas, le mode TE1 peut se propager ds le guide.



- Ex: guide d'ondes entre 2 plans (ϕ réaliste),
guide d'ondes entre 2 conducteurs parallèles
(câble coax en TP).

b) Perdes en ligne

- Ds la descrip θ précédente, on a supposé q̄ les miroirs étaient parfaits, cela veute q̄ le champ électrique s'annulait ds les conducteurs. C'est l'éq. d'impédance acoustiq.
- En réalité, si on tient compte du fait q̄ les miroirs sont réels, il s'établit ds les conducteurs l'onde évanescante sur l'épaisseur caractéristiq δ qui est l'épaisseur de peau

$$\delta(\omega) = \sqrt{\frac{2}{\mu_0 \sigma \omega}}$$

σ : conductivité ϵ^- .

- Ds ce cas, au celui d'1 impédance $<\infty$ en acoustiq, cela conduit à 1 coeff. de réflexion <1 : il y a donc des perdes en ligne.

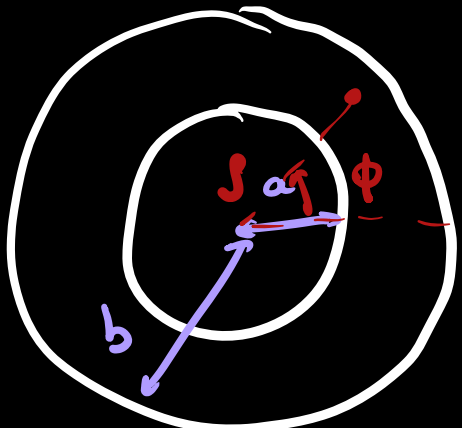
- Cela concerne également les fibres optiques où l'onde évanescante s'établit dans la gaine.
- La résolution analytique du PBM devient très complexe dans ce cas (pbm analogue à celui du puits de potentiel de la part. quantique).

III. ETUDE DES GUIDES D'ONDE CYLINDRIQUES

1) Câble coaxial

a) Rise en éqn.

- On considère le guide d'onde composé de 2 conducteurs cylindriques : fibres optiques, câbles coax.
- ↳ L'espace entre les conducteurs n'est plus simplement connexe et on va pouvoir observer le mode TEM.



$$\left. \begin{aligned} \vec{E} &= \vec{E}_0(\rho, \phi) e^{i(wt - kgx)} \\ \vec{B} &= \vec{B}_0(\rho, \phi) e^{i(wt - kgx)} \end{aligned} \right\}$$

- On peut des éqns de Maxwell et chercher des sol° TE ($E_x = 0$) ou TM ($B_x = 0$) comme dans le cas du guide d'onde rectangulaire. Mais le calcul est alors fait avec l'intervention des f° de Bessel.
- Ici, on va se contenter de chercher le mode TEM t.q $E_x = B_x = 0$.

MF $\vec{\nabla} \times \underline{\vec{E}} = - \frac{\partial \underline{\vec{B}}}{\partial t} = -i\omega \underline{\vec{B}}$

$$\vec{\nabla} \times \underline{\vec{E}_0} e^{i(\omega t - kx)} + \vec{\nabla} [e^{i(\omega t - kx)}] \times \underline{\vec{E}_0} = -i\omega \underline{\vec{B}}$$

$$\Rightarrow \vec{\nabla} \times \underline{\vec{E}_0} - i k \underline{\vec{e}_x} \times \underline{\vec{E}_0} = -i\omega \underline{\vec{B}_0}.$$

or $\vec{\nabla} \times \underline{\vec{E}_0} = \frac{1}{r} \left(\frac{\partial}{\partial \phi} (\psi \underline{\vec{e}_{\phi}}) - \frac{\partial \psi}{\partial \phi} \right) \underline{\vec{e}_x}$
 $\underline{\vec{e}_x} = 0$

Donc $\left\{ \begin{array}{l} \frac{1}{r} \left[\frac{\partial}{\partial \phi} (\psi \underline{\vec{e}_{\phi}}) - \frac{\partial \psi}{\partial \phi} \right] = 0 \quad (\cdot \underline{\vec{e}_x}) \\ \underline{\vec{e}_x} \times \underline{\vec{E}_0} = \frac{\omega}{k} \underline{\vec{B}_0} \end{array} \right.$

en encoe $\left\{ \begin{array}{l} \vec{\nabla} \times \underline{\vec{E}_0} = 0 \\ \underline{\vec{e}_x} \times \underline{\vec{E}_0} = \frac{\omega}{k} \underline{\vec{B}_0}. \end{array} \right.$

MA

$$\vec{\nabla} \times \vec{B} = \frac{1}{c^2} \frac{\partial \vec{E}}{\partial t}$$

$$\vec{\nabla} \times \vec{B}_0 - i \log \epsilon_x \times \vec{B}_0 = + \frac{i \omega}{c^2} \vec{E}_0$$
$$\Rightarrow \left\{ \begin{array}{l} \vec{\nabla} \times \vec{B}_0 = 0 \\ \epsilon_x \times \vec{B}_0 = - \frac{\omega}{\log c^2} \vec{E}_0 \end{array} \right.$$

MG

$$\vec{\nabla} \cdot \vec{E} = 0$$

$$\vec{\nabla} \cdot \vec{E}_0 e^{i(wt - \log x)} + \vec{\nabla} [e^{i(wt - \log x)}] \cdot \vec{E}_0 = 0$$

$$\Rightarrow \vec{\nabla} \cdot \vec{E}_0 - i \log \epsilon_x \cdot \vec{E}_0 = 0$$

DONC $\vec{\nabla} \cdot \vec{E}_0 = 0$

$$\vec{\nabla} \cdot \vec{B} = 0 \Rightarrow \vec{\nabla} \cdot \vec{B}_0 = 0$$

MT

- On peut donc réécrire les éqns de Maxwell sous la forme

$$\left\{ \begin{array}{l} \vec{\nabla} \cdot \vec{E}_0 = 0 \\ \vec{\nabla} \times \vec{E}_0 = \vec{0} \end{array} \right.$$

$$\left\{ \begin{array}{l} \vec{\nabla} \cdot \vec{B}_0 = 0 \\ \vec{\nabla} \times \vec{B}_0 = \vec{0} \end{array} \right.$$

+

$$\vec{e}_x \times \vec{E_0} = \frac{\omega}{k} \vec{B_0}$$

$$\vec{e}_x \times \vec{B_0} = -\frac{\omega}{k c^2} \vec{E_0}$$

b) Calcul du mode TEM

- On peut tirer plusieurs pp'tis des eqns précédentes :

1) La onde qui a l structure d'onde plane ($\vec{k}, \vec{E_0}, \vec{B_0}$) forme un cercle dont $\sin \frac{\theta}{k} = \text{tg } \alpha$

2) On peut obtenir la RD:

$$\vec{e}_x \times (\vec{e}_x \times \vec{E_0}) = (\vec{e}_x \cdot \vec{E_0}) \vec{e}_x - \vec{E_0} = -\vec{E_0}$$

$$\Rightarrow -\vec{E_0} = \frac{\omega}{k} \vec{e}_x \times \vec{B_0} = -\frac{\omega^2}{k c^2} \vec{E_0}$$

Ainsi, pour obtenir l sol° non nulle, on a q:

$$\omega^2 = k^2 c^2 \Leftrightarrow \boxed{\omega = \pm k c}$$

\Rightarrow il s'agit de la RD des ondes planes du vide: l'onde ne voit pas les m's

→ contrairement aux autres modes, il n'y a pas de fréq. de coupure (TEM_0)

3) $\underline{\mathbf{E}_0}$ et $\underline{\mathbf{B}_0}$ vérifient l'éqn de Laplace

cou:

$$\left\{ \begin{array}{l} \Delta \underline{\mathbf{E}_0} = \nabla (\nabla \cdot \underline{\mathbf{E}_0}) - \nabla \times (\nabla \times \underline{\mathbf{E}_0}) = \vec{0} \\ \Delta \underline{\mathbf{B}_0} = \vec{0} \end{array} \right.$$

4) Toute la phm se résume au calcul d'un "potentiel électrique" V_0 t. q

$$\underline{\mathbf{E}_0} = -\nabla V_0 \quad \text{cou } \nabla \times \underline{\mathbf{E}_0} = \vec{0}$$

et que vérifie l'éqn de Laplace

$$\Delta V_0 = 0$$

- Pour chercher le potentiel V_0 , on procède par séparation des variables, i.e. on pose $V_0(\rho, \Phi) = f(\rho) g(\Phi)$

$$\begin{aligned} \Delta V_0 &= \frac{1}{\rho} \frac{\partial}{\partial \rho} \left(\rho \frac{\partial V_0}{\partial \rho} \right) + \frac{1}{\rho^2} \frac{\partial^2 V_0}{\partial \Phi^2} \\ &= g(\Phi) \frac{1}{\rho} \frac{d}{d\rho} \left(\rho f'(\rho) \right) + \frac{1}{\rho^2} f(\rho) g''(\Phi) \\ &= 0 \end{aligned}$$

$$\Rightarrow \frac{f(s)}{g(s)} \frac{d}{ds} (sg'(s)) = - \frac{g''(s)}{g(s)} = \text{const} = k^2$$

$$\hookrightarrow \begin{cases} g''(\phi) + k^2 g(\phi) = 0 \\ s \frac{d}{ds} (sg'(s)) - k^2 f(s) = 0 \end{cases}$$

- On commence par \$f\$ sur \$\phi\$:

$$g(\phi) = A e^{ik\phi} + B e^{-ik\phi} \text{ où } A, B \in \mathbb{R}, k \in \mathbb{C}.$$

On pose \$\bar{q}\$ Ve soit régulier, il faut que

$$\underline{V_0}(\phi + 2\pi) = \underline{V_0}$$

$$\Rightarrow e^{i2\pi k} = 1$$

$$\Leftrightarrow k \in \mathbb{Z}$$

$$\Rightarrow g(\phi) = A \cos(k\phi) + B \sin(k\phi) = C \cos(k\phi - \phi_0)$$

où \$C, \phi_0\$ sont des constantes.

- Pour \$g\$, on a:

$$sg''(s) + sg'(s) - k^2 f(s) = 0$$

On cherche \$f(s) \propto s^\alpha\$

$$\Rightarrow \alpha(\alpha-1) + \alpha - k^2 = 0$$

$$\lambda^2 = k^2$$

$$\Rightarrow \lambda = \pm k$$

Donc $f(g) = \frac{E}{g^k} + F g^k$ si $k \neq 0$

Si $k=0$ alors on doit résoudre

$$f''(g) + \frac{f'(g)}{g} = 0$$

$$\Rightarrow f'(g) = \frac{E}{g}$$

$$\Rightarrow f(g) = E \ln g + F$$

• CCL: On a:

$$V(g, \phi) = \begin{cases} A \ln g + B & \text{si } k=0 \\ \left[\frac{A}{g^k} + B g^k \right] \cos(k\phi + \phi_0) & \text{sinon} \end{cases}$$

• On étudie maintenant les CLs, à savoir où la composante tangentielle de \vec{E} doit s'annuler sur les 2 courbeurs, soit $E_{0,\phi}(a, \phi) = E_{0,\phi}(b, \phi) = 0$

$$\alpha V_0, \phi = \begin{cases} 0 & \text{si } k=0 \\ \frac{1}{k} \frac{\partial V_0}{\partial \phi} \sin \phi & \text{sinon} \end{cases}$$

Si $k \neq 0$, on doit avoir $\frac{\partial V_0}{\partial \phi}(a, \phi) = 0$ et $\frac{\partial V_0}{\partial \phi}(b, \phi) = 0$

\Rightarrow cela impose $A = B = 0$.

• Ainsi, on en conclut que la seule sol' admisible est celle pour $k=0$, correspondant à

$$V(s, \phi) = V_0(s) = A \ln s + B,$$

qui est donc constante.

• On peut alors en déduire les champs :

$$\left\{ \begin{array}{l} \vec{E} = -V_0'(s) e^{i(wt - kgx)} \vec{e}_s, \\ \vec{B} = \frac{V_0'(s)}{c} e^{i(wt - kgx)} \vec{e}_\phi. \end{array} \right.$$

• Si on note V_1 et V_L les valeurs de V_0 en $s=a$ et $s=b$ respectivement alors :

$$\left\{ \begin{array}{l} A \ln a + B = V_1 \Rightarrow A = \frac{V_L - V_1}{\ln(b/a)} \\ A \ln b + B = V_2 \end{array} \right.$$

$$\Rightarrow \left\{ \begin{array}{l} \vec{E} = \frac{V_1 - V_2}{j c \ln(\frac{b}{a})} e^{i(wt - kgx)} \vec{e}_y \\ \vec{B} = \frac{V_1 - V_2}{j c \ln(\frac{b}{a})} e^{i(wt - kgx)} \vec{e}_\phi \end{array} \right.$$

- On peut également en déduire les potentiels scalaire & vecteur

$$\left\{ \begin{array}{l} \vec{E} = -\vec{\nabla}V - \frac{\partial \vec{A}}{\partial t}, \\ \vec{B} = \vec{\nabla} \times \vec{A}. \end{array} \right.$$

On peut vérifier que

$$\left\{ \begin{array}{l} V = [V_1 + (V_2 - V_1) \frac{\ln(\frac{S}{a})}{\ln(\frac{b}{a})}] e^{i(wt - kgx)} \\ \vec{A} = \frac{1}{c} [V_1 + (V_2 - V_1) \frac{\ln(\frac{S}{a})}{\ln(\frac{b}{a})}] e^{i(wt - kgx)} \vec{e}_x \end{array} \right.$$

est l'sol° du PBM.

c) onde électromagnétique

- On peut alors établir la propagation du courant & de la tension de la onde:
- La tension $v(x, t)$ est obtenue à partir de la diff. de potentiel: $v(x, t) = V(a, x, t) - V(b, x, t)$

$$u(x,t) = (V_1 - V_2) e^{i(wt - hg x)}$$

- le courant est obtenu à partir de la densité superficielle de courant, qu'on calcule à partir de la relation de passage pour \vec{B} :

$$\vec{B}(s=a^+) - \vec{B}(s=a^-) = \mu_0 \vec{j}_s \times \vec{e}_g$$

$$\frac{V_1 - V_2}{\alpha \ln(b/a)} e^{i(wt - hg x)} \vec{e}_g = \mu_0 \vec{j}_s \times \vec{e}_g$$

$$\alpha \ln(b/a)$$

$$\Rightarrow \vec{j}_s = \frac{V_1 - V_2}{\mu_0 \alpha \ln(b/a)} e^{i(wt - hg x)} \vec{e}_x$$

donc on calcule i en intégrant sur l'ensemble :

$$i(x,t) = \vec{j}_s \cdot \vec{e}_x \times 2\pi a$$

$$i(x,t) = \frac{2\pi(V_1 - V_2)}{\mu_0 \alpha \ln(b/a)} e^{i(wt - hg x)}$$

- On peut alors mq en retenir la modélisation électromagnétique du câble & calculer les inductance & capacité linéique.
- On calcule l'énergie élec. transportée:

$$\Sigma_c = \iint_{x \in \Omega} \frac{1}{2} \epsilon_0 \vec{E}^2 dS$$

$$= \pi \epsilon_0 \int_a^b dx \frac{(V_1 - V_2)^2}{s^2 \ln(b/a)} \cos^2(\omega t - kx)$$

Δ il faut repasser en réel.

$$= \pi \epsilon_0 \frac{(V_1 - V_L)^2 \cos^2(\omega t - kx)}{\ln(b/a)}$$

$$= \frac{1}{2} \Gamma u(x, t)^2$$

où

$$\boxed{\Gamma = \frac{2\pi \epsilon_0}{\ln(b/a)}}$$

De la même manière, on calcule l'énergie magnétique perdue :

$$\Sigma_m = \iint_{x \in \Omega} \frac{\vec{B}^2}{2\mu_0} dS$$

$$= \pi \int_0^b dx \frac{(V_1 - V_2)^2}{\mu_0 c^2 \ln(b/a)} \cos^2(\omega t - kx)$$

$$= \frac{\pi}{\mu_0 c^2} \frac{(V_1 - V_2)^2 \cos^2(\omega t - kx)}{\ln(b/a)}$$

$$= \frac{1}{2} \Lambda_i(x, t)^2$$

$$\text{su} \quad \frac{1}{2} \Lambda \frac{(2\pi)^2 (V_i - V_L)^2}{\mu_0 c^2 \left[\ln \left(\frac{b}{a} \right) \right]^2} = \frac{\pi (V_i - V_L)^2}{\mu_0 c^2 \ln \left(\frac{b}{a} \right)}$$

$$\Rightarrow \boxed{\Lambda = \frac{\mu_0 \ln \left(\frac{b}{a} \right)}{2\pi}}$$

- En part., on peut vérifier q' :

$$\left\{ \begin{array}{l} \frac{1}{\sqrt{\Lambda \Gamma}} = \frac{1}{\sqrt{\mu_0 \epsilon_0}} = c \\ \sqrt{\frac{\Lambda}{\Gamma}} = \frac{1}{2\pi} \sqrt{\frac{\mu_0}{\epsilon_0} \ln \left(\frac{b}{a} \right)} = \frac{\mu_0 c}{2\pi} \ln \left(\frac{b}{a} \right) = \frac{u(x,t)}{i(x,t)} = z \end{array} \right.$$

- De q', on constate q' Λ, Γ ne dépendent q' de la géométrie du coax.

- RQ: Cette équation est très importante en pratiq' car les fréq. de coupure des modes TE et TM sont :

$$\left\{ \begin{array}{l} f_{c,TE} \approx \frac{c}{2(b-a)} \\ f_{c,TM} \approx \frac{c}{\pi(a+b)} \end{array} \right.$$

Données: $a = 0.54 \text{ mm}$
 $b = 1.48 \text{ mm}$

$$f_{c,TE} = 160 \text{ GHz}, \quad f_{c,TM} = 102 \text{ GHz}.$$

La en TP ou à la TV, seul le mode TEM peut se propager dans le coax (car la fréq.

typique des ondes est au \oplus de MHz).

d) Calcul des modes

TE / TM

- On cherche des sol° sous la forme

$$\left\{ \begin{array}{l} \vec{E}(\rho, \phi, x, t) = \vec{E}_0(\rho, \phi) e^{i(wt - kgx)} \\ \vec{B}(\rho, \phi, x, t) = \vec{B}_0(\rho, \phi) e^{i(wt - kgx)} \end{array} \right.$$

- les Cls vérifiées par le chp sont

$$\left\{ \begin{array}{l} E_{0,\phi}(a, \phi) = E_{0,\phi}(b, \phi) = 0 \\ E_{0,x}(a, \phi) = E_{0,x}(b, \phi) = 0 \\ B_{0,\rho}(a, \phi) = B_{0,\rho}(b, \phi) = 0 \end{array} \right.$$

- Entre les 2 conducteurs, on a du vide et le chp qui vérifie l'éqn de D'Alembert:

$$\Delta \vec{E} - \frac{1}{c^2} \frac{\partial^2 \vec{E}}{\partial t^2} = 0, \text{ soit en projet selon } \vec{e}_x$$

$$\frac{1}{\rho^2} \frac{\partial^2 E_{0,x}}{\partial \phi^2} + \frac{\partial^2 E_{0,x}}{\partial \rho^2} + \frac{1}{\rho} \frac{\partial E_{0,x}}{\partial \rho} + \left(\frac{\omega^2}{c^2} - k_g^2 \right) E_{0,x} = 0$$

On procède par séparation des variables

$$E_{0,x}(\rho, \phi) = f(\rho) g(\phi)$$

$$\hookrightarrow \frac{f''(\rho)}{f(\rho)} + \frac{f'(\rho)}{\rho f'(\rho)} + \frac{1}{\rho^2} \frac{g''(\phi)}{g(\phi)} + \frac{\omega^2}{c^2} - k^2 = 0$$

$$\Rightarrow \rho^2 \left[\frac{f''(\rho)}{f(\rho)} + \frac{f'(\rho)}{\rho f'(\rho)} + \frac{\omega^2}{c^2} - k^2 \right] + \frac{g''(\phi)}{g(\phi)} = 0$$

$$\Rightarrow \begin{cases} g''(\phi) = -\gamma^2 g(\phi) \\ f''(\rho) + \frac{1}{\rho} f'(\rho) + \left[\frac{\omega^2}{c^2} - k^2 - \frac{\gamma^2}{\rho^2} \right] f(\rho) = 0 \end{cases}$$

où $\gamma \in \mathbb{R}$

Comme $g(\phi)$ est l' ϕ° 2π -périodique (pour que $\underline{\phi_0}$ soit bien défini), on en déduit que $\gamma = m \in \mathbb{N}$.

$$\Rightarrow g(\phi) = g_0 \cos(m\phi + \phi_0) \text{ où } g_0, \phi_0 : \text{constantes d'intégration}$$

On en déduit alors que $\underline{\text{OS}} \neq 0$ nonTEM

$$\rho^2 f''(\rho) + \rho f'(\rho) + \left[\rho^2 \left(\frac{\omega^2}{c^2} - k^2 \right) - m^2 \right] f(\rho) = 0$$

dont les sol $^\circ$ sont les f° de Bessel de 1^{re} espèce J_m et de 2^{nde} espèce Y_m :

$$f_n(\rho) = A_n J_n \left(\sqrt{\frac{\omega^2}{c^2} - k^2} \rho \right) + B_n Y_n \left(\sqrt{\frac{\omega^2}{c^2} - k^2} \rho \right)$$

• les fibres deviennent alors

$$f_n(a) = f_n(b) = 0$$

$$\Rightarrow \begin{cases} A_n J_n \left(\sqrt{\frac{\omega^2}{c^2} - k^2} a \right) + B_n Y_n \left(\sqrt{\frac{\omega^2}{c^2} - k^2} a \right) \\ \qquad \qquad \qquad = 0 \\ A_n J_n \left(\sqrt{\frac{\omega^2}{c^2} - k^2} b \right) + B_n Y_n \left(\sqrt{\frac{\omega^2}{c^2} - k^2} b \right) \\ \qquad \qquad \qquad = 0 \end{cases}$$

Pour que ces éqns admettent des sol° non triviales, il faut que $\frac{\omega^2}{c^2} - k^2 > 0$ (ppr des f° de Bessel).

Ds ce cas, il y aura 1 sol° ≠ 0 si le dét. du sept. s'annule, soit

$$\begin{aligned} J_n \left(\sqrt{\frac{\omega^2}{c^2} - k^2} a \right) Y_n \left(\sqrt{\frac{\omega^2}{c^2} - k^2} b \right) \\ = J_n \left(\sqrt{\frac{\omega^2}{c^2} - k^2} b \right) Y_n \left(\sqrt{\frac{\omega^2}{c^2} - k^2} a \right) \end{aligned}$$

La cette éqn admet 1 ens. discréte de sol°

$$\alpha_{mm} = \sqrt{\frac{\omega^2}{c^2} - k_g^2} \text{ qui dépendent de } a \text{ et } b.$$

\uparrow
 \downarrow
 $f^o n$
 \downarrow
 $\text{sol}^o m$

$\Rightarrow R.D.$

$$k_g, mm = \frac{\omega^2 - \omega_{c, mm}^{(TM)2}}{c^2}$$

$$\text{en } \omega_{c, mm}^{(TM)} = c \alpha_{mm}$$

- On peut procéder pareillement pour $B_{0,x}(r, \phi) = f(r)g(\phi)$, qui vérifie la 1^{re} éqn. Pour déterminer les Cls, on utilise l'éqn du RA $\vec{\nabla} \times \vec{B} = \frac{1}{c^2} \frac{\partial \vec{E}}{\partial t}$.

$$\left\{ \begin{array}{l} \frac{1}{r} \frac{\partial B_{0,x}}{\partial \phi} + i k_g B_{0,\phi} = \frac{i \omega}{c^2} E_{0,r} \\ -i k_g B_{0,r} - \frac{\partial B_{0,x}}{\partial r} = \frac{i \omega}{c^2} \epsilon_{0,\phi} \\ \frac{1}{r} \frac{\partial}{\partial r} (r B_{0,\phi}) - \frac{\partial B_{0,r}}{\partial \phi} = \frac{i \omega}{c^2} \epsilon_{0,x} \end{array} \right.$$

De la 2^{nde} éqn, on en tire $\bar{q} \frac{\partial B_{0,x}}{\partial r}(a, \phi) = 0$

et $\frac{\partial \text{Be}^x}{\partial p}(b, \phi) = 0$.

$$\Rightarrow f_m(p) = A_m' J_m\left(\sqrt{\frac{\omega^2}{c^2} - kq^2} p\right) + B_m' Y_m\left(\sqrt{\frac{\omega^2}{c^2} - kq^2} p\right)$$

avec les Cls

$$\left\{ \begin{array}{l} A_m' J_m'\left(\sqrt{\frac{\omega^2}{c^2} - kq^2} a\right) + B_m' Y_m'\left(\sqrt{\frac{\omega^2}{c^2} - kq^2} a\right) = 0 \\ A_m' J_m'\left(\sqrt{\frac{\omega^2}{c^2} - kq^2} b\right) + B_m' Y_m'\left(\sqrt{\frac{\omega^2}{c^2} - kq^2} b\right) = 0 \end{array} \right.$$

là encore, cela impose que $\frac{\omega^2}{c^2} - kq^2 > 0$
et pour avoir 1 sol° non trivialement nulle
il faut que le det. soit = 0

$$\begin{aligned} J_m'\left(\sqrt{\frac{\omega^2}{c^2} - kq^2} a\right) Y_m'\left(\sqrt{\frac{\omega^2}{c^2} - kq^2} b\right) \\ = J_m'\left(\sqrt{\frac{\omega^2}{c^2} - kq^2} b\right) Y_m'\left(\sqrt{\frac{\omega^2}{c^2} - kq^2} a\right) \end{aligned}$$

La cette éqn admet encore 1 autre résultat de

$\Rightarrow \beta_{mm} = \sqrt{\frac{\omega^2}{c^2} - k_g^2}$ qui dépendent de a et b.

$$\Rightarrow R.D. \quad k_g, mm = \frac{(\omega^{TE})^2 - \omega_{c,mm}^{(TE)} \omega_{c,mm}}{c^2}$$

où $\omega_{c,mm}^{(TE)} = c \beta_{mm}$

$\Delta \alpha_{mm} \neq \beta_{mm}$

On peut alors en déduire les autres chps en fonction de $f_{0,x}$ et B_{0x} à partir des éqns de Maxwell :

$$\left\{ \begin{array}{l} \frac{1}{\rho} \frac{\partial}{\partial \rho} (\rho \epsilon_{0f}) + \frac{1}{\rho} \frac{\partial E_{0f}}{\partial \phi} - ik_g E_{0x} = 0 \quad (1) \\ \frac{1}{\rho} \frac{\partial}{\partial \rho} (\rho B_{0f}) + \frac{1}{\rho} \frac{\partial B_{0f}}{\partial \phi} - ik_g B_{0x} = 0 \quad (2) \end{array} \right.$$

$$\frac{1}{\rho} \frac{\partial E_{0x}}{\partial \phi} + ik_g \epsilon_{0f} = -i\omega B_{0f} \quad (3)$$

$$-ik_g E_{0f} - \frac{\partial E_{0x}}{\partial \phi} = -i\omega B_{0f} \quad (4)$$

$$\frac{1}{\rho} \frac{\partial}{\partial \rho} (\rho \epsilon_{0f}) - \frac{\partial \rho \epsilon_{0f}}{\partial \phi} = -i\omega B_{0x} \quad (5)$$

$$\frac{1}{\rho} \frac{\partial B_{0,x}}{\partial \phi} + i k g B_{0,f} = \frac{i \omega}{c^2} E_{0,f} \quad (6)$$

$$-i k g B_{0,f} - \frac{\partial B_{0,x}}{\partial \rho} = \frac{i \omega}{c^2} \epsilon_{0,f} \quad (7)$$

$$\frac{1}{\rho} \frac{\partial}{\partial \rho} \left(\rho B_{0,f} \right) - \frac{\partial B_{0,f}}{\partial \phi} = \frac{i \omega}{c^2} \epsilon_{0,x}. \quad (8)$$

(3) et (7) =>

$$-i k g B_{0,f} - \frac{\partial B_{0,x}}{\partial \rho} = \frac{i \omega}{c^2} \left[-\frac{i \omega}{i k g} B_{0,f} - \frac{1}{i k g \rho} \frac{\partial \epsilon_{0,x}}{\partial \phi} \right]$$

$$i \left(\frac{\omega^2}{c^2 k g} - k g \right) B_{0,f} = \frac{\partial B_{0,x}}{\partial \rho} - \frac{\omega}{c^2 k g \rho} \frac{\partial \epsilon_{0,x}}{\partial \phi}$$

$$i \left(\frac{\omega^2}{c^2} - k g^2 \right) B_{0,f} = k g \frac{\partial B_{0,x}}{\partial \rho} - \frac{\omega}{c^2 \rho} \frac{\partial \epsilon_{0,x}}{\partial \phi} (g)$$

↳ là encore, on en déduit q B_{0,f} let hester

les autres composantes de \vec{E} et \vec{B}) s'écrivent comme comb. lin. de $E_{0,x}$ et $B_{0,x}$ et leurs dérivées.

\Rightarrow on pourra donc déf. 2 familles de sol° TE ($E_{0,x} = 0$) et TA ($B_{0,x} = 0$) et tt le reste se propagant ds le guide s'écira comme superposit de ces 2 familles.

• Sol° en mode TE : $E_{0,x} = 0$

$$\frac{1}{\rho} \frac{\partial}{\partial \rho} \left(\rho E_{0,\phi} \right) + \frac{1}{\rho} \frac{\partial E_{0,\phi}}{\partial \phi} = 0 \quad (1')$$

$$k_g E_{0,\phi} = - \omega B_{0,\phi} \quad (3)$$

$$k_g E_{0,\phi} = \omega B_{0,\phi} \quad (4)$$

$$\frac{1}{\rho} \frac{\partial}{\partial \rho} \left(\rho B_{0,\phi} \right) = \frac{\partial B_{0,\phi}}{\partial \phi} \quad (8')$$

$$i \left(\frac{\omega^2}{c_s^2} - k_g^2 \right) B_{0,\phi} = k_g \frac{\partial B_{0,x}}{\partial \rho} \quad (9')$$

On en déduit alors les sol° en mode TE
ainsi q̄ leur R.D.

$$\boxed{\frac{\omega_{\text{kg,mm}}^{(\text{TE})}}{c} = \frac{\omega^2 - \omega_{c,\text{mm}}^{(\text{TE})}^2}{c^2}}$$

où $\omega_{c,\text{mm}}^{(\text{TE})} = c \beta_{\text{mm}}$

où β_{mm}
est la
m-ième
sol° de

$$J_m'(\beta_{nmm}) Y_m'(\beta_{nmmb}) = J_m'(\beta_{nmmb}) Y_m'(\beta_{nmm})$$

• Sol° en mode TM: $B_{0,x} = 0$

$$\frac{1}{\rho} \frac{\partial}{\partial \rho} \left(\rho B_{0,f} \right) + \frac{1}{l} \frac{\partial B_{0,f}}{\partial \phi} = 0 \quad (2')$$

$$\frac{1}{\rho} \frac{\partial}{\partial \rho} \left(\rho \epsilon_{0,\phi} \right) = \frac{\partial E_{0,f}}{\partial \phi} \quad (5')$$

$$\text{kg } B_{0,\phi} = \frac{\omega}{c^2} E_{0,f} \quad (6')$$

$$\text{kg } B_{0,f} = -\frac{\omega}{c^2} \epsilon_{0,\phi} \quad (7')$$

$$i \left(\frac{\omega^2}{c^2} - k^2 \right) B_{0,f} = -\frac{\omega}{c^2 \rho} \frac{\partial \epsilon_{0,x}}{\partial \phi} \quad (g')$$

On en déduit alors les sol° en mode TM ainsi q̄ leur R.D.

$$\frac{(\text{TM})^2}{k_{\text{g,mm}}} = \frac{\omega^2 - \omega_{c,\text{mm}}^{(\text{TM})}^2}{c^2}$$

où $\omega_{c,\text{mm}}^{(\text{TM})}$

$$\text{ou } \omega_{c,\text{mm}}^{(\text{TM})} = c \alpha_{\text{mm}}$$

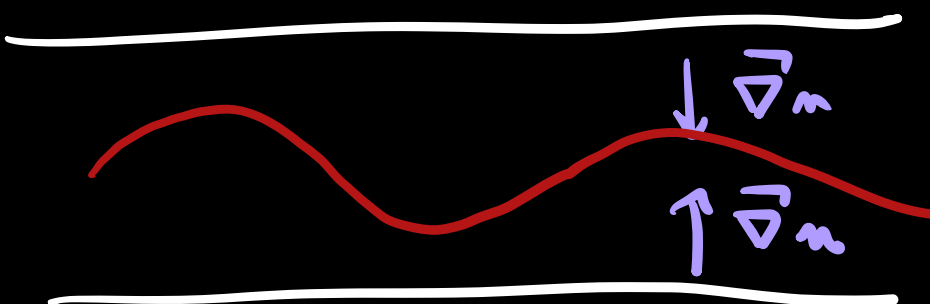
où α_{mm}
est la
m-ième
sol° de

$$J_m(\alpha_{\text{mma}}) Y_m(\alpha_{\text{mm}b}) = J_m(\alpha_{\text{mm}b}) Y_m(\alpha_{\text{mma}})$$

- RQ: Centralement au pied d'onde rectangulaire, la RD des modes TE et TM est \neq , tout comme les fréq. de coupure.

2) Fibre optiq à \vec{D} d'indice

- On revient sur le cas des fibres optiq pris cette fois-ci où q̄ l'indice optiq varie cont.

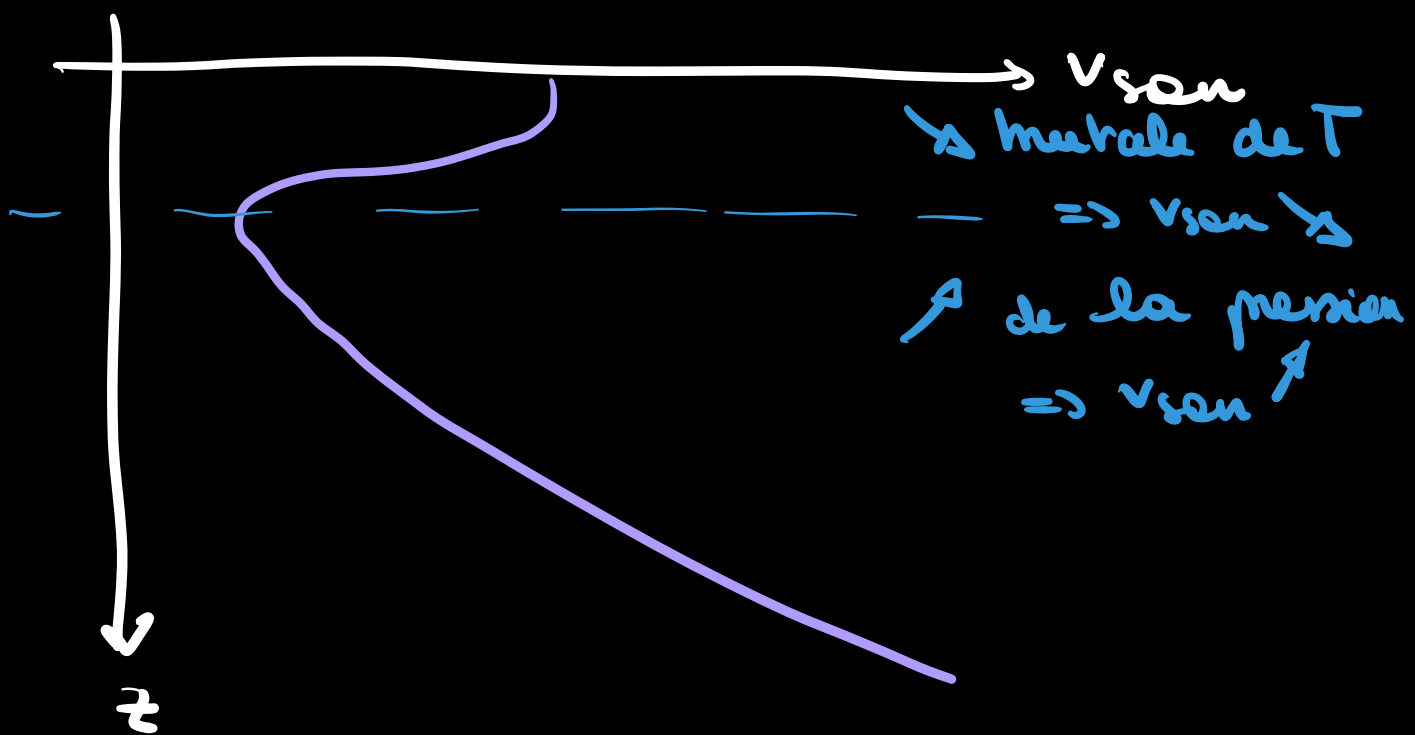


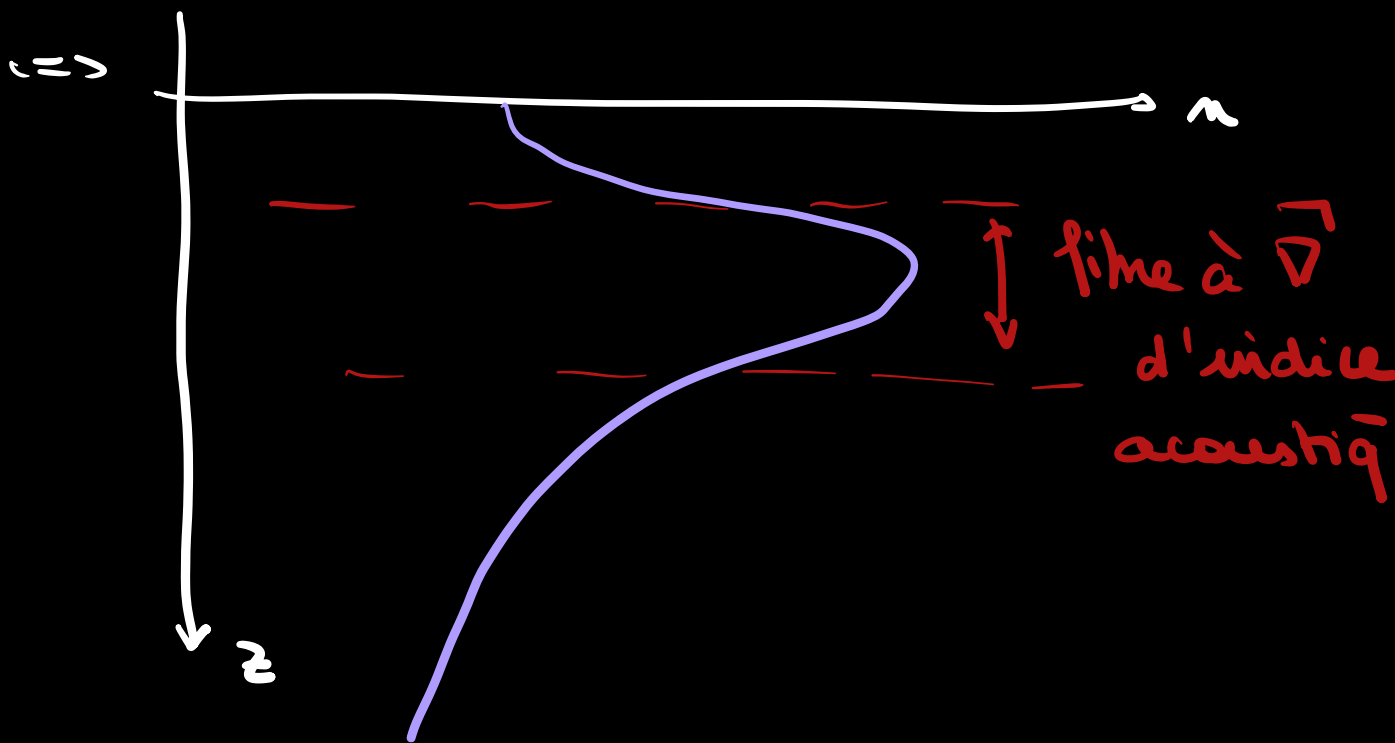
- Intérêt: on a la dispersion intermodale car les rayons d'angle élevé (modes propres) voient l'indice \neq faible et se propagent vite.

ce cela permet d' \uparrow le débit d'info.

- Applications: il existe des fibres à ∇ d'indice naturelles.

ex: SOFAR channels dans les océans à cause de la continuité des variations de $T \& P$: $v \neq$ avec T et P .





C'est par exemple le lieu privilégié pour enregistrer les séismes

- Eqs des rayons lumineux:

$$\boxed{\frac{d}{ds}(\bar{n}\bar{u}) = \vec{D}n \text{ où } \bar{u}: \text{vecteur unitaire}}$$